

# **Diferencias Finitas para la solución de ecuaciones diferenciales parciales**

## **Ecuación del calor Bidimensional**

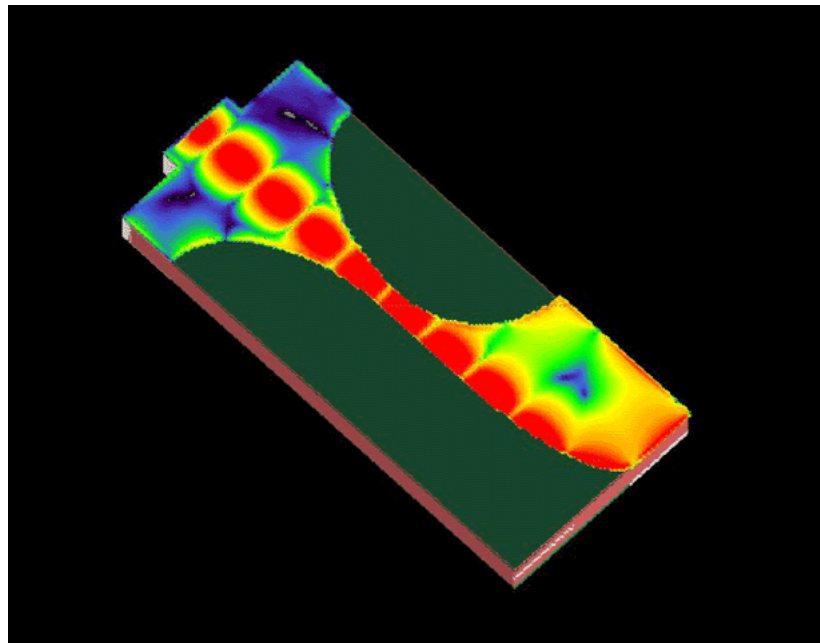
**UHU – 4º Ingeniero Industrial – Curso 2008/09**

**Profesor: Antonio Algaba Durán**

**Alumno: Luis Heredia Castillo**

# Para flujo bidimensional en régimen transitorio:

$$\frac{\partial^2 T}{\partial x^2} + \frac{\partial^2 T}{\partial y^2} + \frac{\dot{q}}{k} = \frac{\rho C_p}{k} \frac{\partial T}{\partial \tau}$$

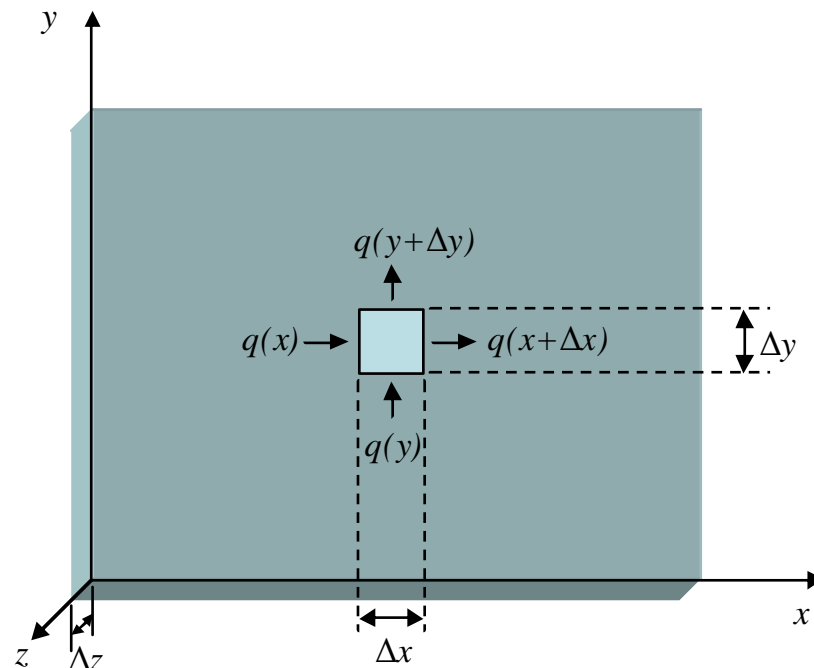


$$\frac{\partial u}{\partial x} = \lim_{\Delta x \rightarrow 0} \frac{u(x + \Delta x, y) - u(x, y)}{\Delta x}$$

$$\frac{\partial u}{\partial y} = \lim_{\Delta y \rightarrow 0} \frac{u(x, y + \Delta y) - u(x, y)}{\Delta y}$$

# Diferencias finitas: ecuaciones parabólicas

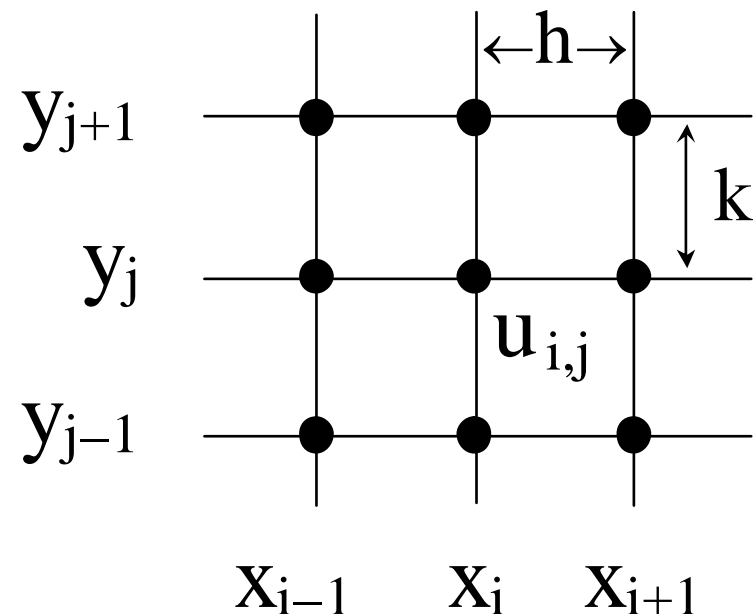
$$\frac{\partial T}{\partial t}(x, y, t) = c^2 * \left( \frac{\partial^2 u}{\partial x^2}(x, t) + \frac{\partial^2 u}{\partial y^2}(y, t) \right) + F(x, y, t)$$



$q$  es el flujo de calor ( $\text{cal}/(\text{cm}^2 \text{ s})$ )

# Diferencias finitas

- Discretización: EDP  $\rightarrow$  EDF
- Métodos explícitos
  - ◆ Sencillos
  - ◆ Inestables
- Métodos implícitos
  - ◆ Más complejos
  - ◆ Estables

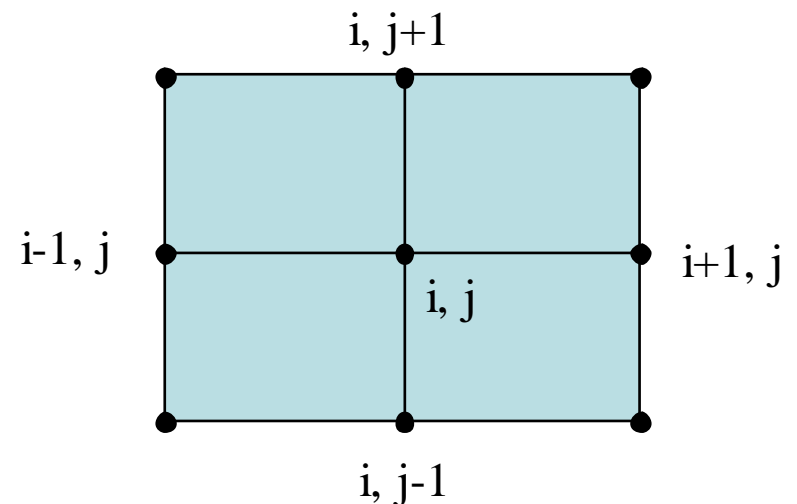
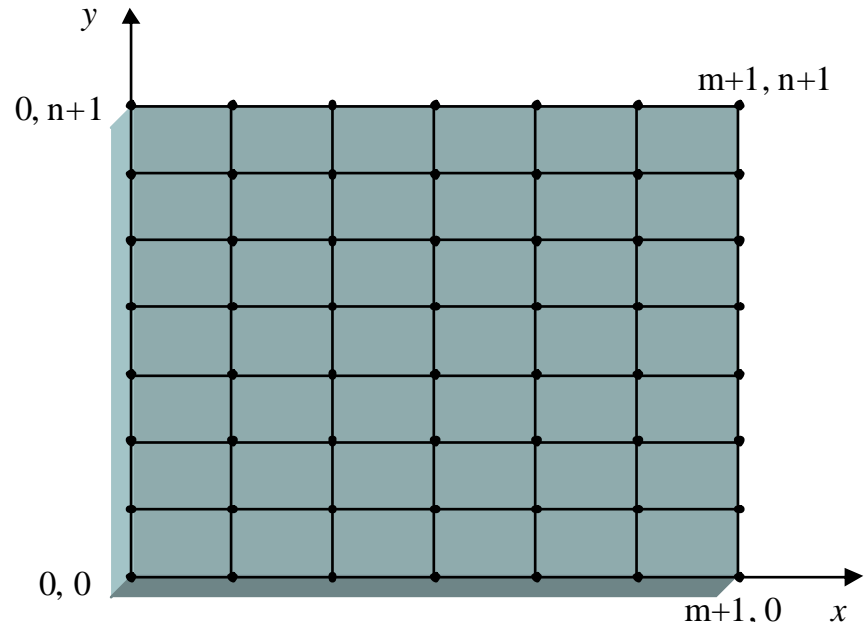


# Técnica de solución: Métodos explícitos

$$\frac{\partial T}{\partial t} = \frac{T_i^{l+1} - T_i^l}{\Delta t} + O[\Delta t]$$

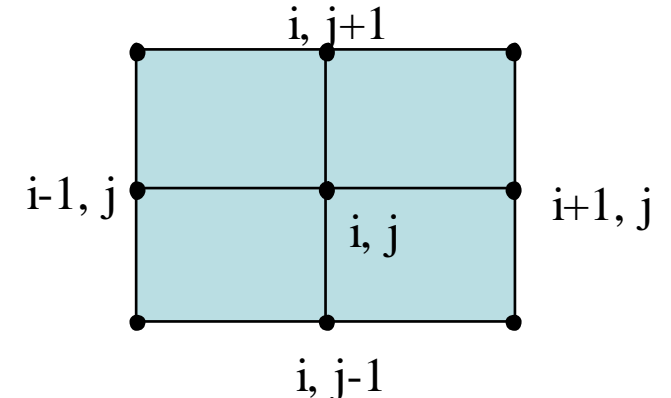
$$\frac{\partial^2 T}{\partial x^2} = \frac{T_{i+1,j}^l - 2T_{i,j}^l + T_{i-1,j}^l}{\Delta x^2} + O[\Delta x^2]$$

$$\frac{\partial^2 T}{\partial y^2} = \frac{T_{i,j+1}^l - 2T_{i,j}^l + T_{i,j-1}^l}{\Delta y^2} + O[\Delta y^2]$$



# Métodos explícitos - Condiciones Dirichlet

$$h = \frac{L}{m} \quad k = \frac{T}{N}$$



$$\frac{W_{i,j}^{l+1} - W_{i,j}^l}{k} = c^2 \left( \frac{W_{i+1,j}^l - 2W_{i,j}^l + W_{i-1,j}^l}{h^2} + \frac{W_{i,j+1}^l - 2W_{i,j}^l + W_{i,j-1}^l}{h^2} \right) + F_{i,j}^l$$

$$W_{i,j}^{l+1} = \lambda \left( W_{i+1,j}^l + W_{i-1,j}^l + W_{i,j+1}^l + W_{i,j-1}^l \right) + (1 - 4\lambda) * W_{i,j}^l + k * F_{i,j}^l$$

$$\lambda = \frac{c^2 * k}{h^2}$$

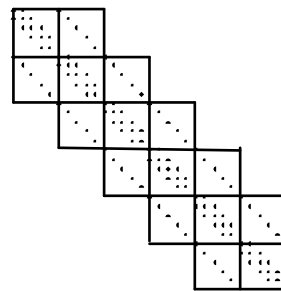
$W_0 = \left( f(x_i, y_j) \right)_{i=1, \dots, m-1}^{j=1, \dots, m-1}$
$W_{j+1} = A * W_j + b_j$

$$W_j = \left( W_{i,j}^l \right)_{i=1, \dots, m-1}^{j=1, \dots, m-1}$$

Estabilidad  $\rightarrow \lambda \leq 1/4$

# Métodos explícitos – Matriz Tridiagonal

$$W_{i,j}^{l+1} = \lambda(W_{i+1,j}^l + W_{i-1,j}^l + W_{i,j+1}^l + W_{i,j-1}^l) + (1 - 4\lambda)*W_{i,j}^l + k * F_{i,j}^l$$



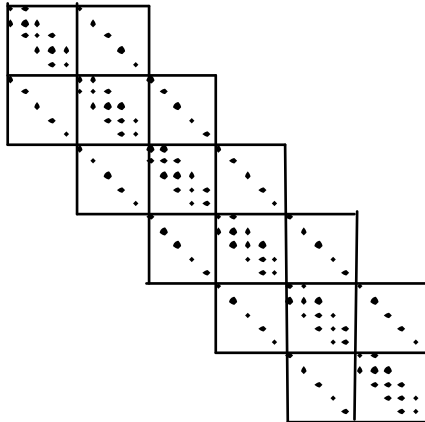
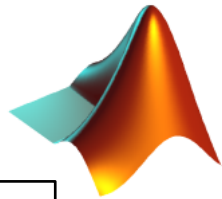
$$\begin{bmatrix} A & C & 0 \\ B & A & C \\ 0 & B & A \end{bmatrix}$$

$$W_0 = (f(x_i, y_j))_{i=1, \dots, m-1}^{j=1, \dots, m-1}$$

$$W_{j+1} = A * W_j + b_j$$

$$\left[ \begin{array}{ccc|ccc|ccc} 1-4\lambda & \lambda & 0 & \lambda & 0 & 0 & 0 & 0 & 0 \\ \lambda & 1-4\lambda & \lambda & 0 & \lambda & 0 & 0 & 0 & 0 \\ 0 & \lambda & 1-4\lambda & 0 & 0 & \lambda & 0 & 0 & 0 \\ \hline \lambda & 0 & 0 & ..... & ..... & ..... & \lambda & 0 & 0 \\ 0 & \lambda & 0 & ..... & ..... & ..... & 0 & \lambda & 0 \\ 0 & 0 & \lambda & ..... & ..... & ..... & 0 & 0 & \lambda \\ \hline 0 & 0 & 0 & \lambda & 0 & 0 & 1-4\lambda & \lambda & 0 \\ 0 & 0 & 0 & 0 & \lambda & 0 & \lambda & 1-4\lambda & \lambda \\ 0 & 0 & 0 & 0 & 0 & \lambda & 0 & \lambda & 1-4\lambda \end{array} \right]$$

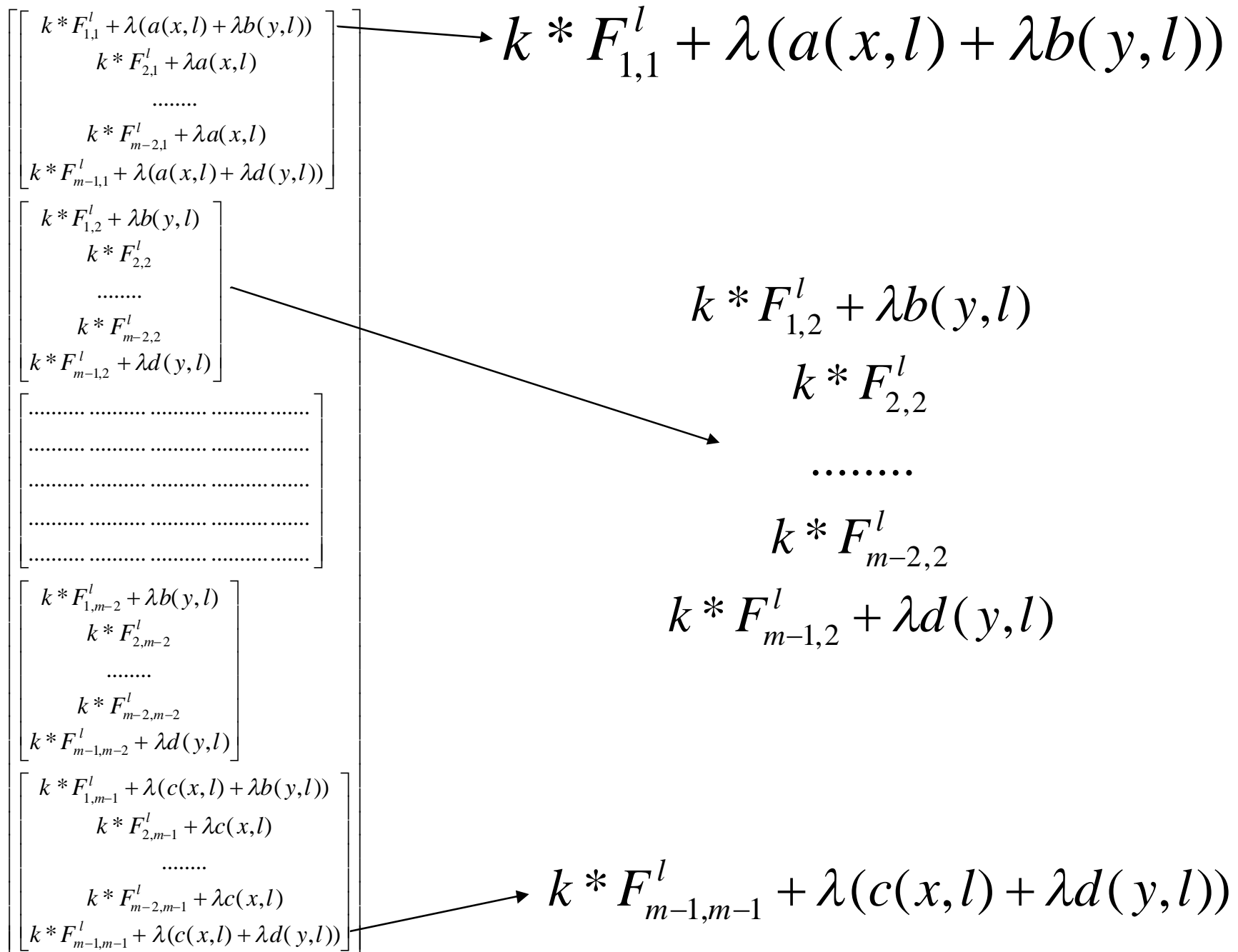
# Programación Matriz Tridiagonal



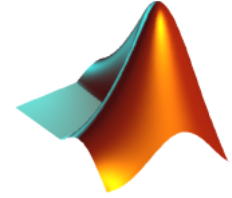
```
function AA=tridiagonal2D(a,b,c,m)
A=tridiagonal(a,b,c,m);
B=tridiagonal(b,0,0,m);
C=tridiagonal(c,0,0,m);
AA=zeros(m*m,m*m);
for i=2:m-1
    AA(((i-1)*m)+1:i*m,((i-2)*m)+1:(i-1)*m)=B;
    AA(((i-1)*m)+1:i*m,((i-1)*m)+1:(i+0)*m)=A;
    AA(((i-1)*m)+1:i*m,((i-0)*m)+1:(i+1)*m)=C;
end
AA(1:m,1:m)=A;
AA(1:m,m+1:2*m)=C;
AA(((m-1)*m)+1:m*m,((m-2)*m)+1:(m-1)*m)=B;
AA(((m-1)*m)+1:m*m,((m-1)*m)+1:m*m)=A;
```

```
A=tridiagonal2D(1-4*la,la,la,m-1);
```

# Métodos explícitos – Vector Bj



# Programación Vector Cj



```
for j=0:N-1
    %construcción de Bj
    b=zeros(m-1,m-1);%lo creamos inicialmente como matriz
    %Fuerza externa
    for i=1:m-1
        for ii=1:m-1
            b(i,ii)=k*GG(i*h,ii*h,j*k);
        end
    end
    %En los bordes de la placa condiciones de Dirichlet
    for i=1:m-1
        b(i,1)=b(i,1)+la*aa(i*h,j*k);
        b(i,m-1)=b(i,m-1)+la*cc(i*h,j*k);
        b(1,i)=b(1,i)+la*bb(i*h,j*k);
        b(m-1,i)=b(m-1,i)+la*dd(i*h,j*k);
    end
end
```

# Métodos explícitos – Sistema ec.

$W_1 =$

A

$*W_0 +$  bj

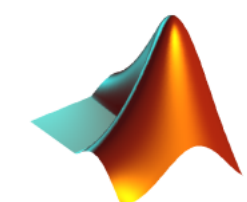
$$\begin{bmatrix}
 w_{2,2}^{p+1} \\
 w_{3,2}^{p+1} \\
 \dots \\
 \dots \\
 w_{m-1,2}^{p+1} \\
 w_{2,3}^{p+1} \\
 w_{3,3}^{p+1} \\
 \dots \\
 \dots \\
 w_{m-1,3}^{p+1} \\
 \dots \\
 \dots \\
 w_{2,n-2}^{p+1} \\
 w_{3,n-2}^{p+1} \\
 \dots \\
 \dots \\
 w_{m-1,n-2}^{p+1} \\
 w_{2,n-1}^{p+1} \\
 w_{3,n-1}^{p+1} \\
 \dots \\
 \dots \\
 w_{m-1,n-1}^{p+1}
 \end{bmatrix} = \begin{bmatrix}
 1-4\lambda & \lambda & & & \\
 \lambda & 1-4\lambda & \lambda & & \\
 \dots & \dots & \dots & \dots & \\
 & \lambda & 1-4\lambda & \lambda & \\
 & \lambda & \lambda & 1-4\lambda & \\
 \lambda & & & \lambda & \\
 \lambda & & & \lambda & \\
 \dots & & & \dots & \\
 & \lambda & & & \\
 & & \lambda & & \\
 & & & \lambda & \\
 & & & & \lambda
 \end{bmatrix} \begin{bmatrix}
 \lambda & & & & \\
 & \lambda & & & \\
 & & \dots & & \\
 & & & \lambda & \\
 & & & & \lambda
 \end{bmatrix} * \begin{bmatrix}
 w_{2,2}^p \\
 w_{3,2}^p \\
 \dots \\
 \dots \\
 w_{m-1,2}^p \\
 w_{2,3}^p \\
 w_{3,3}^p \\
 \dots \\
 \dots \\
 w_{m-1,3}^p \\
 \dots \\
 \dots \\
 w_{2,n-2}^p \\
 w_{3,n-2}^p \\
 \dots \\
 \dots \\
 w_{m-1,n-2}^p \\
 w_{2,n-1}^p \\
 w_{3,n-1}^p \\
 \dots \\
 \dots \\
 w_{m-1,n-1}^p
 \end{bmatrix} + \begin{bmatrix}
 k * F_{2,2}^p + \lambda * b(y,t) + \lambda * a(x,t) \\
 k * F_{3,2}^p + \lambda * b(y,t) \\
 \dots \\
 k * F_{m-2,2}^p + \lambda * b(y,t) \\
 k * F_{m-1,2}^p + \lambda * b(m-1,t) + \lambda * c(x,t) \\
 k * F_{2,3}^p + \lambda * a(x,t) \\
 k * F_{3,3}^p \\
 \dots \\
 k * F_{m-2,3}^p \\
 k * F_{m-1,3}^p + \lambda * c(x,t) \\
 \dots \\
 k * F_{2,n-2}^p + \lambda * a(x,t) \\
 k * F_{3,n-2}^p \\
 \dots \\
 k * F_{m-2,n-2}^p \\
 k * F_{m-1,n-2}^p + \lambda * c(x,t) \\
 k * F_{2,n-1}^p + \lambda * d(y,t) + \lambda * a(x,t) \\
 k * F_{3,n-1}^p + \lambda * d(y,t) \\
 \dots \\
 k * F_{m-2,n-1}^p + \lambda * d(y,t) \\
 k * F_{m-1,n-1}^p + \lambda * c(x,t) + \lambda * c(x,t)
 \end{bmatrix}$$

(m-1)\*(m-1) ecuaciones

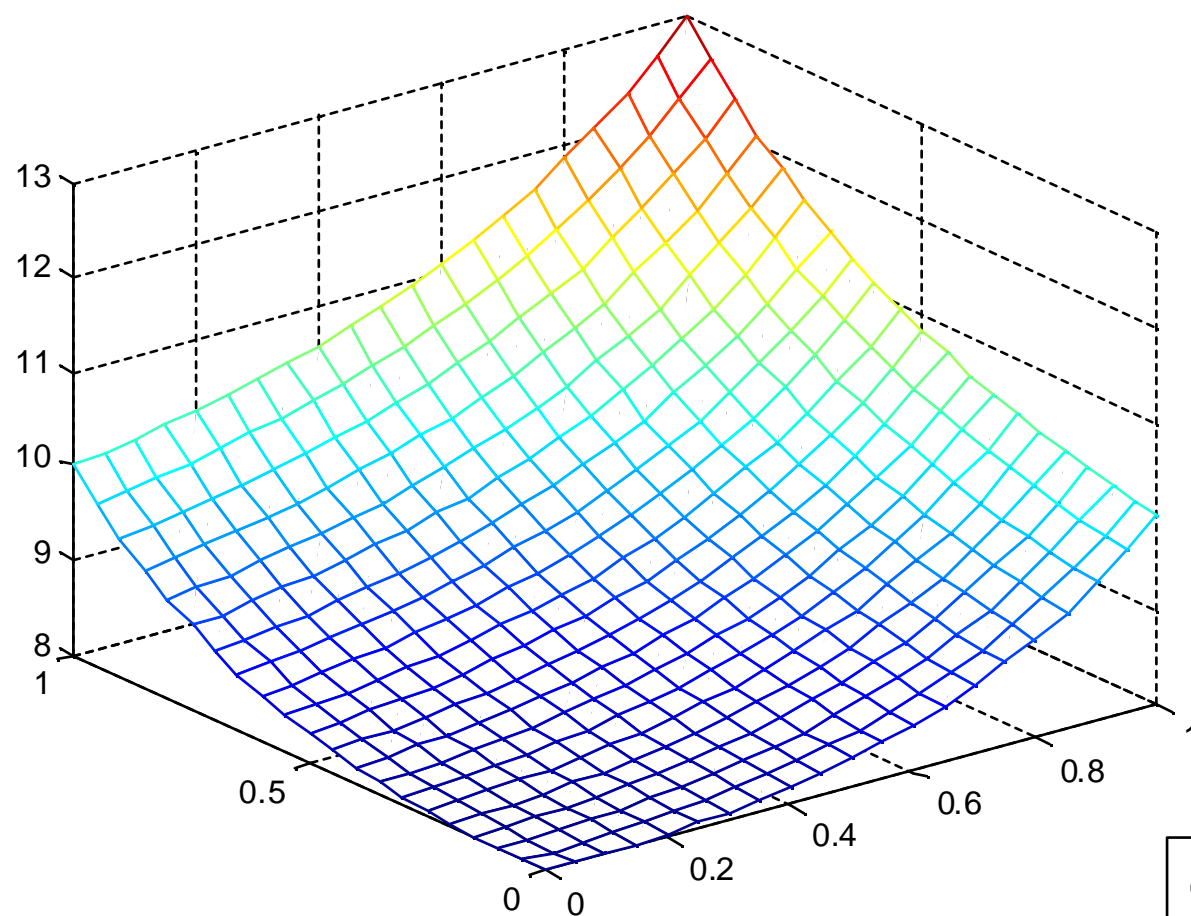
```

B=zeros((m-1)*(m-1),1);%lo convertimos en un vector de pie
for i=1:m-1
    B(1+((i-1)*(m-1)):i*(m-1),1)=b(:,i);
end

```

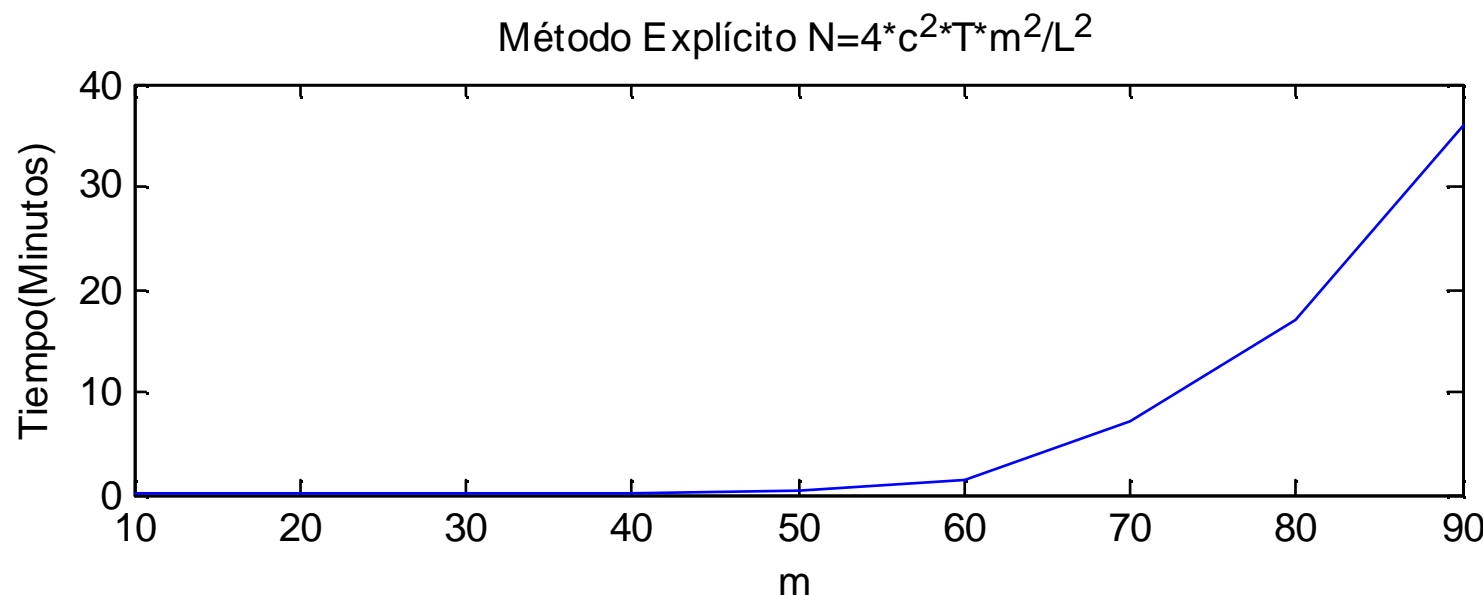
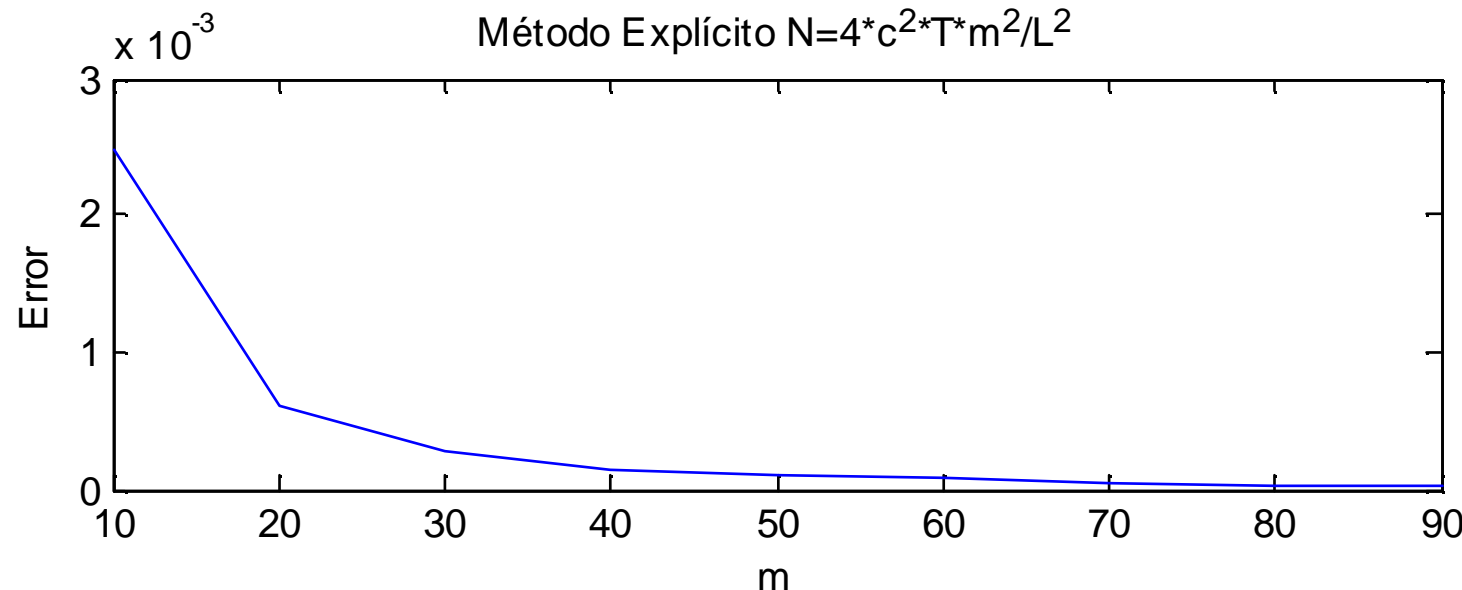


# Métodos explícitos – Soluciones



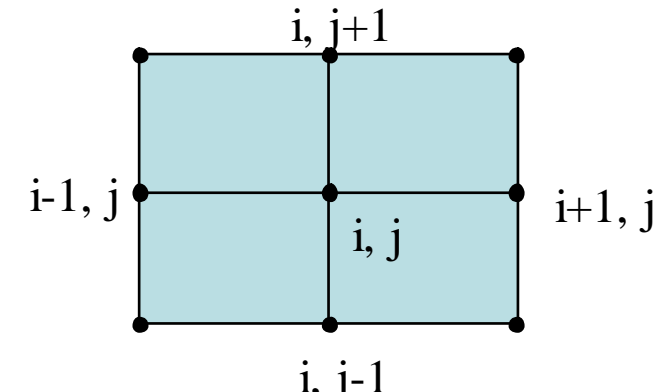
```
c=1;L=1;T=1;  
m=90;  
h = 0.011111111111111  
k = 3.086419753086420e-005  
la = 0.250000000000000  
error = 0.000030673019068
```

# Métodos explícitos – Soluciones



# Métodos Implícito - Condiciones Dirichlet

$$h = \frac{L}{m} \quad k = \frac{T}{N} \quad \lambda = \frac{c^2 * k}{h^2}$$



$$\frac{W_{i,j}^{l+1} - W_{i,j}^l}{k} = c^2 \left( \frac{W_{i+1,j}^{l+1} - 2W_{i,j}^{l+1} + W_{i-1,j}^{l+1}}{h^2} + \frac{W_{i,j+1}^{l+1} - 2W_{i,j}^{l+1} + W_{i,j-1}^{l+1}}{h^2} \right) + F_{i,j}^{l+1}$$

$$(1 + 4\lambda) * W_{i,j}^{l+1} - \lambda (W_{i+1,j}^{l+1} + W_{i-1,j}^{l+1} + W_{i,j+1}^{l+1} + W_{i,j-1}^{l+1}) = W_{i,j}^l + k * F_{i,j}^{l+1}$$

$$W_0 = \left( f(x_i, y_j) \right)_{i=1, \dots, m-1}^{j=1, \dots, m-1}$$

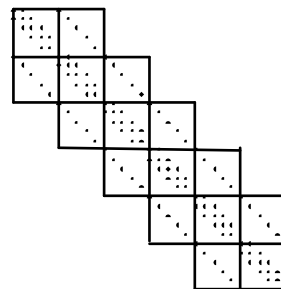
$$A * W_{j+1} = W_j + c_j$$

$$W_j = \left( W_{i,j}^l \right)_{l=1, \dots, N-1}^{i=1, \dots, m-1} \quad \begin{matrix} j=1, \dots, m-1 \\ i=1, \dots, m-1 \\ l=1, \dots, N-1 \end{matrix}$$

Incondicionalmente estable

# Métodos implícito – Matriz Tridiagonal

$$(1+4\lambda)*W_{i,j}^{l+1} - \lambda(W_{i+1,j}^{l+1} + W_{i-1,j}^{l+1} + W_{i,j+1}^{l+1} + W_{i,j-1}^{l+1}) = W_{i,j}^l + k * F_{i,j}^{l+1}$$



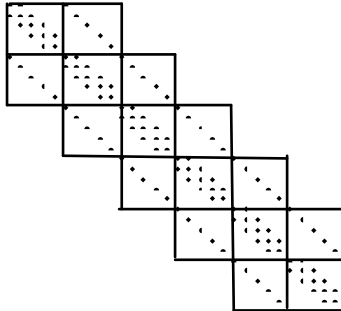
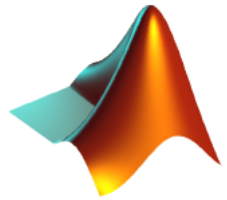
$$\begin{bmatrix} A & C & 0 \\ B & A & C \\ 0 & B & A \end{bmatrix}$$

$$W_0 = (f(x_i, y_j))_{i=1, \dots, m-1}^{j=1, \dots, m-1}$$

$$A * W_{j+1} = W_j + c_j$$

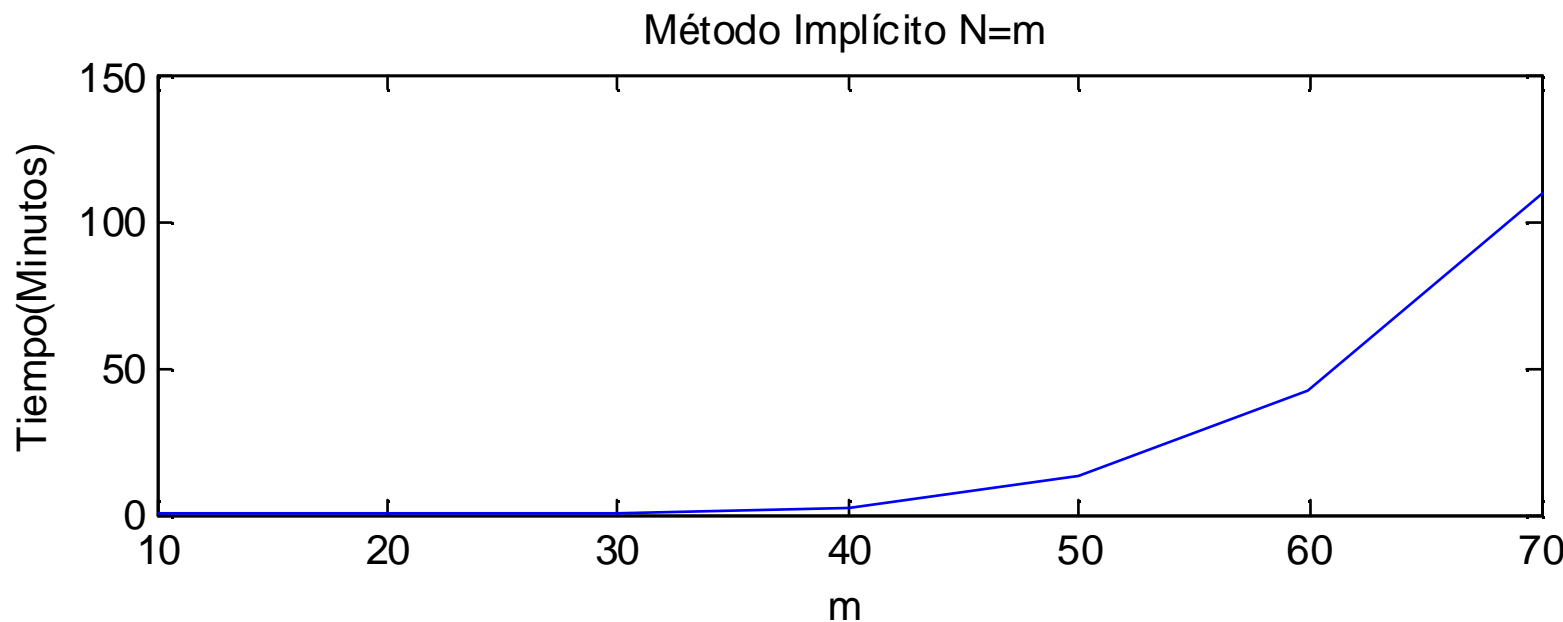
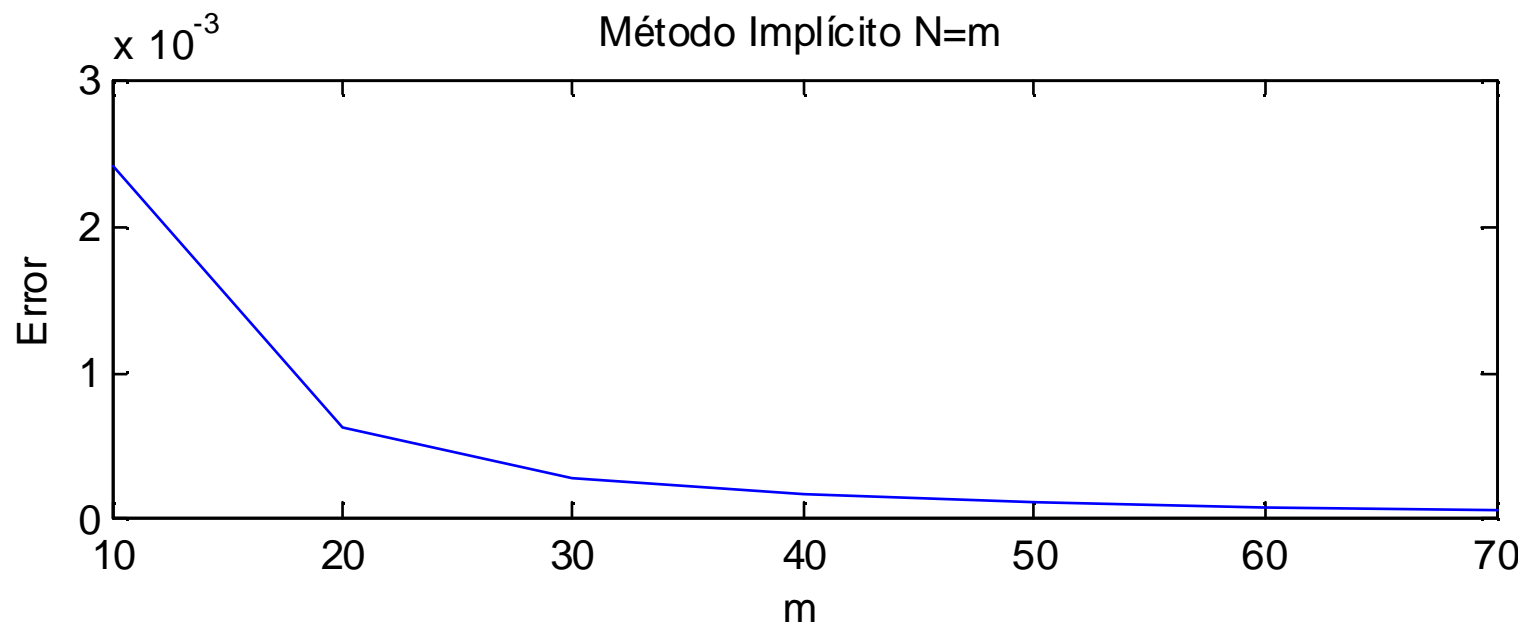
$$\left[ \begin{array}{ccc|ccc|ccc} 1+4\lambda & -\lambda & 0 & -\lambda & 0 & 0 & 0 & 0 & 0 \\ -\lambda & 1+4\lambda & -\lambda & 0 & -\lambda & 0 & 0 & 0 & 0 \\ 0 & -\lambda & 1+4\lambda & 0 & 0 & -\lambda & 0 & 0 & 0 \\ \hline -\lambda & 0 & 0 & ..... & ..... & ..... & -\lambda & 0 & 0 \\ 0 & -\lambda & 0 & ..... & ..... & ..... & 0 & -\lambda & 0 \\ 0 & 0 & -\lambda & ..... & ..... & ..... & 0 & 0 & -\lambda \\ \hline 0 & 0 & 0 & -\lambda & 0 & 0 & 1+4\lambda & -\lambda & 0 \\ 0 & 0 & 0 & 0 & -\lambda & 0 & -\lambda & 1+4\lambda & -\lambda \\ 0 & 0 & 0 & 0 & 0 & -\lambda & 0 & -\lambda & 1+4\lambda \end{array} \right]$$

# Programación Matriz Tridiagonal



```
function WN=calorimplicito2D(m,N,L,c,T)
% $m=10; N=10; L=1; c=1; T=1;$ 
k=T/N; h=L/m; la=c^2*k/h^2
%definir A
A=tridiagonal2D(1+4*la,-la,-la,m-1);
%calculo de W0
.....
%Calculo W1,W2,...,WN
.....
%En los bordes de la placa se aplican condiciones de Dirichlet
.....
%lo convertimos en un vector de pie
.....
%Cálculo de W1,..,WN
W=A\W+C;
end
```

# Métodos implícitos – Soluciones



# Métodos Implicito - CranK - Nicolson

$$\begin{aligned} \frac{W_{i,j}^{l+1} - W_{i,j}^l}{k} &= \frac{c^2}{2} \left( \frac{W_{i+1,j}^{l+1} - 2W_{i,j}^{l+1} + W_{i-1,j}^{l+1}}{h^2} + \frac{W_{i,j+1}^{l+1} - 2W_{i,j}^{l+1} + W_{i,j-1}^{l+1}}{h^2} \right) + \\ &+ \frac{c^2}{2} \left( \frac{W_{i+1,j}^l - 2W_{i,j}^l + W_{i-1,j}^l}{h^2} + \frac{W_{i,j+1}^l - 2W_{i,j}^l + W_{i,j-1}^l}{h^2} \right) + F_{i,j}^{l+1/2} \end{aligned}$$

$$(1 + 2\lambda) * W_{i,j}^{l+1} - \frac{\lambda}{2} (W_{i+1,j}^{l+1} + W_{i-1,j}^{l+1} + W_{i,j+1}^{l+1} + W_{i,j-1}^{l+1}) =$$

$$(1 - 2\lambda) * W_{i,j}^l + \frac{\lambda}{2} (W_{i+1,j}^l + W_{i-1,j}^l + W_{i,j+1}^l + W_{i,j-1}^l) + k * F_{i,j}^{l+1/2}$$

$$\lambda = \frac{c^2 * k}{h^2}$$

$$W_0 = \left( f(x_i, y_j) \right)_{i=1, \dots, m-1}^{j=1, \dots, m-1}$$

$$A * W_{j+1} = B * W_j + c_j$$

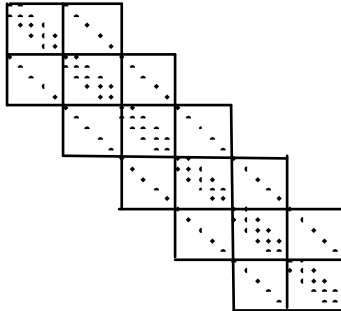
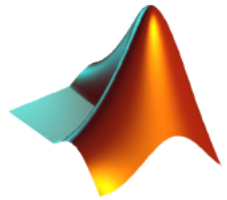
$$W_j = \left( W_{i,j}^l \right)_{i=1, \dots, m-1}^{j=1, \dots, m-1}$$

Incondicionalmente estable

# Crank - Nicolson– Vector Cj

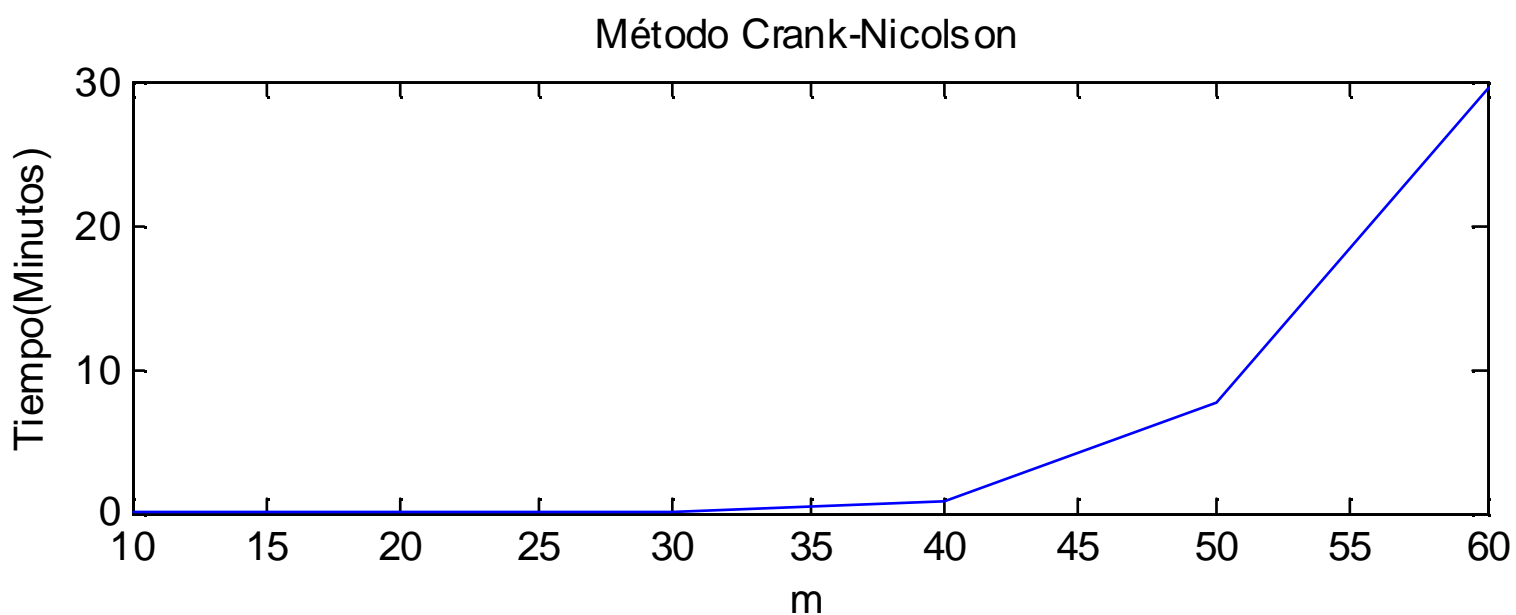
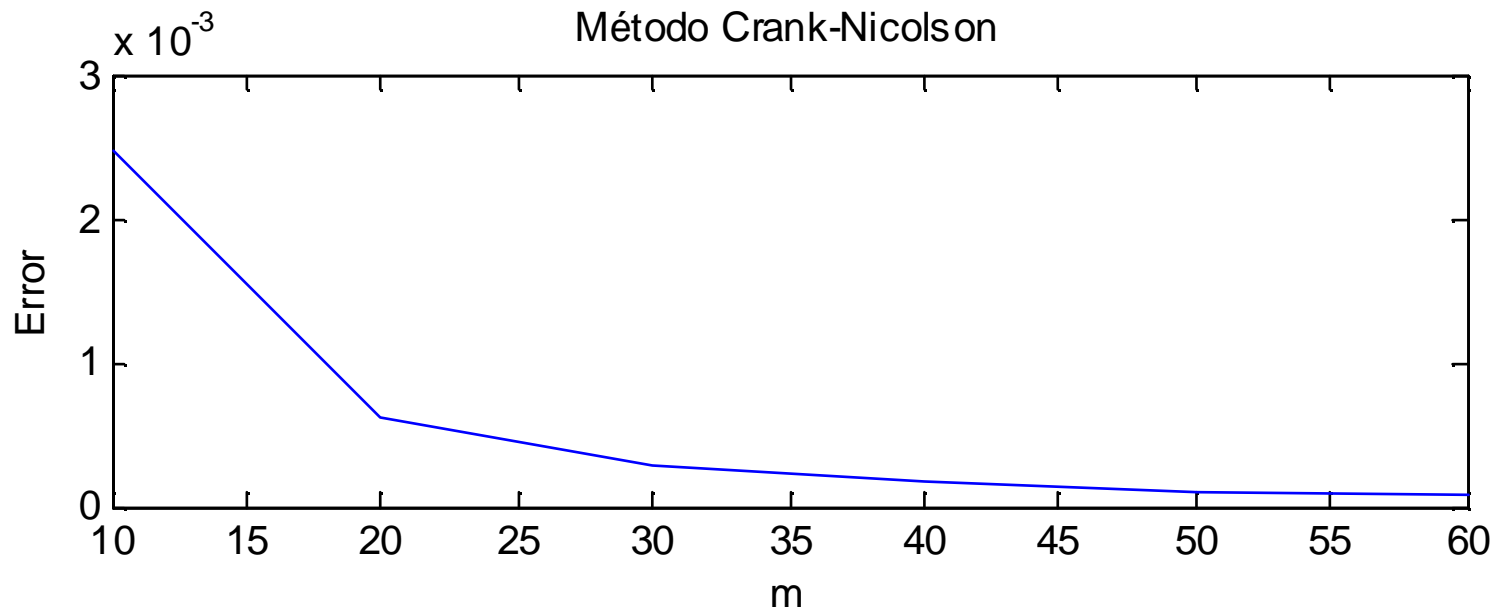
$$\begin{bmatrix}
k * F_{1,1}^l + \frac{\lambda}{2}(a(x,l) + a(x,l+1)) + \frac{\lambda}{2}(b(x,l) + b(x,l+1)) \\
k * F_{2,1}^l + \frac{\lambda}{2}(a(x,l) + a(x,l+1)) \\
\cdots \\
k * F_{m-2,1}^l + \frac{\lambda}{2}(a(x,l) + a(x,l+1)) \\
k * F_{m-1,1}^l + \frac{\lambda}{2}(a(x,l) + a(x,l+1)) + \frac{\lambda}{2}(d(x,l) + d(x,l+1)) \\
k * F_{1,2}^l + \frac{\lambda}{2}(b(x,l) + b(x,l+1)) \\
k * F_{2,2}^l \\
\cdots \\
k * F_{m-2,2}^l \\
k * F_{m-1,2}^l + \frac{\lambda}{2}(d(x,l) + d(x,l+1)) \\
\cdots \\
k * F_{1,m-2}^l + \frac{\lambda}{2}(b(x,l) + b(x,l+1)) \\
k * F_{2,m-2}^l \\
\cdots \\
k * F_{m-2,m-2}^l \\
k * F_{m-1,m-2}^l + \frac{\lambda}{2}(d(x,l) + d(x,l+1)) \\
k * F_{1,m-1}^l + \frac{\lambda}{2}(c(x,l) + c(x,l+1)) + \frac{\lambda}{2}(b(x,l) + b(x,l+1)) \\
k * F_{2,m-1}^l + \frac{\lambda}{2}(c(x,l) + c(x,l+1)) \\
\cdots \\
k * F_{m-2,m-1}^l + \frac{\lambda}{2}(c(x,l) + c(x,l+1)) \\
k * F_{m-1,m-1}^l + \frac{\lambda}{2}(c(x,l) + c(x,l+1)) + \frac{\lambda}{2}(d(x,l) + d(x,l+1))
\end{bmatrix}$$

# Programación Matriz Tridiagonal



```
function WN=calorimplicito2D(m,N,L,c,T)
% $m=10; N=10; L=1; c=1; T=1;$ 
k=T/N; h=L/m; la=c^2*k/h^2
%definir A
A=tridiagonal2D(1+2*la,-la/2,-la/2,m-1);
B=tridiagonal2D(1-2*la,la/2,la/2,m-1);
%calculo de W0 como un vector columna
.....
%Calculo W1,W2,...,WN
.....
%En los bordes de la placa se aplican condiciones de Dirichlet
.....
%lo convertimos en un vector de pie
.....
%Cálculo de W1,..,WN
W=A\B*W+C;
end
```

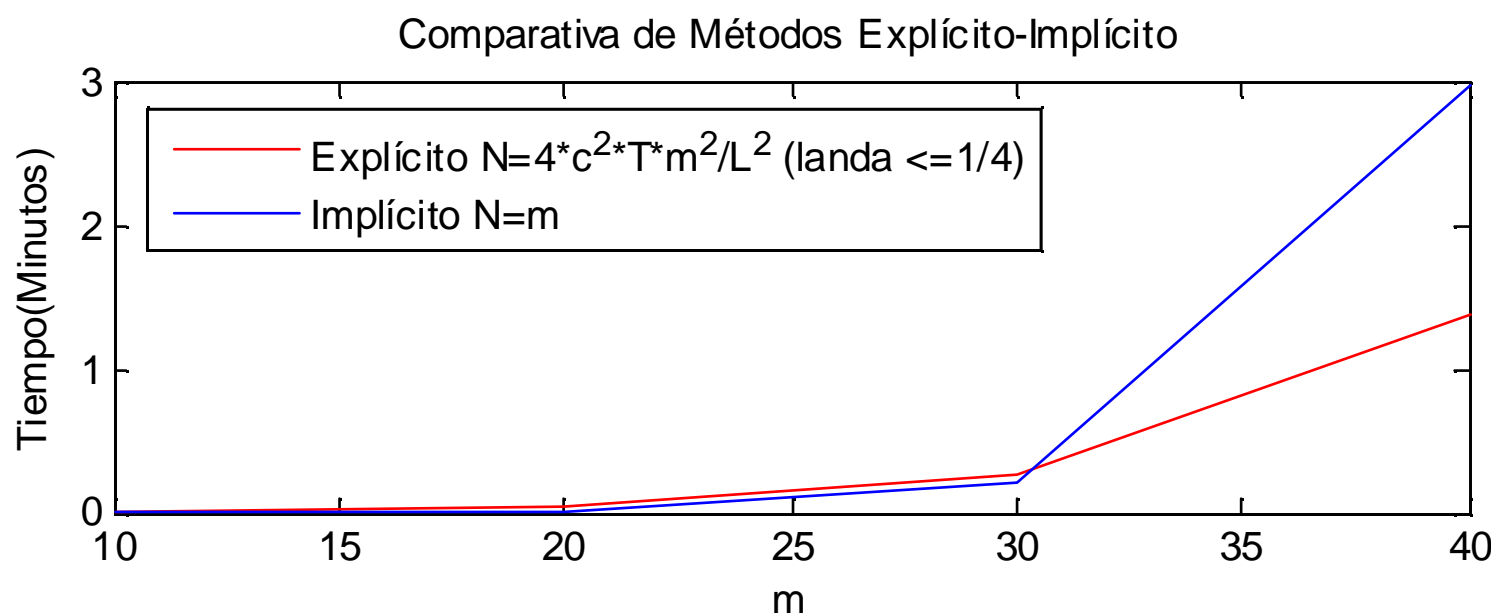
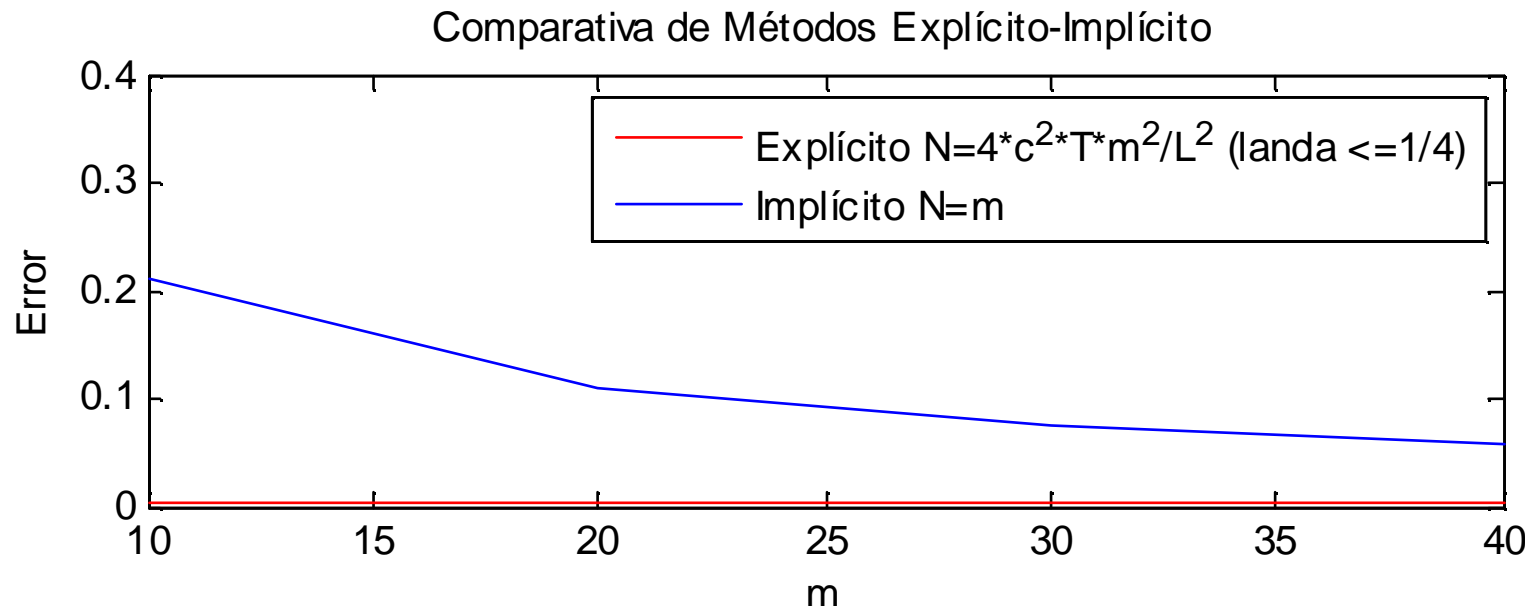
# Crank - Nicolson– Soluciones



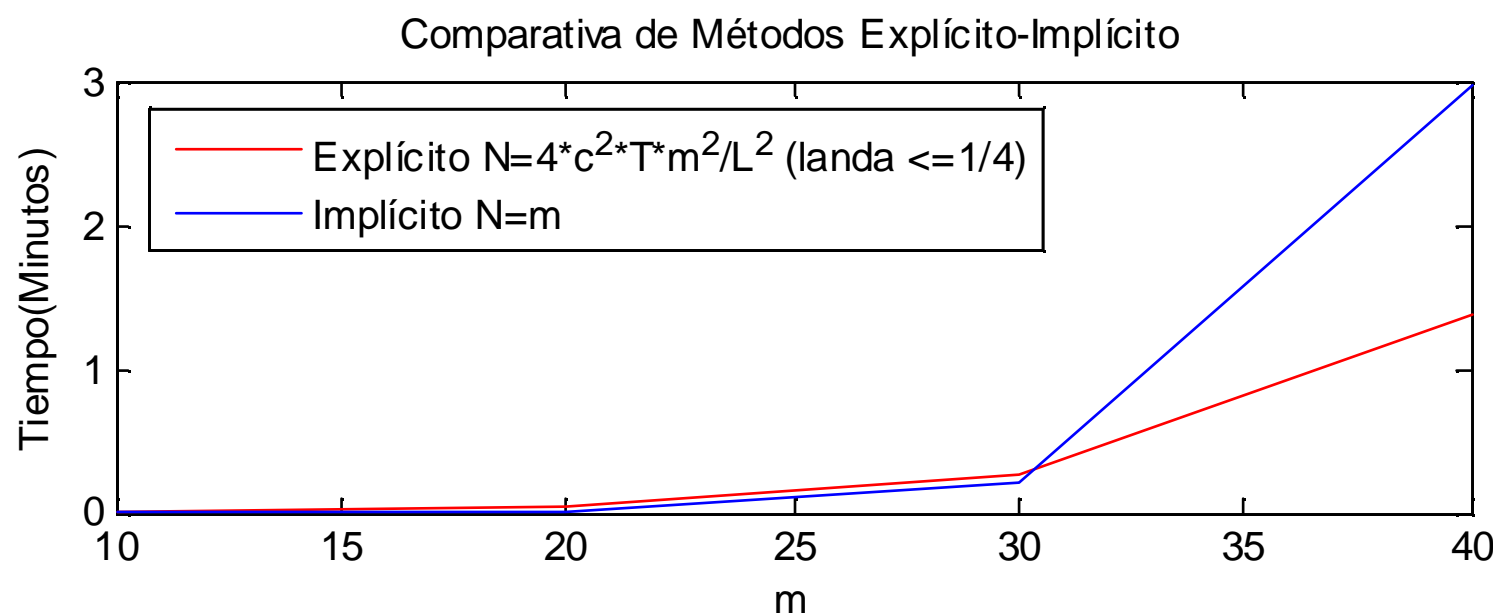
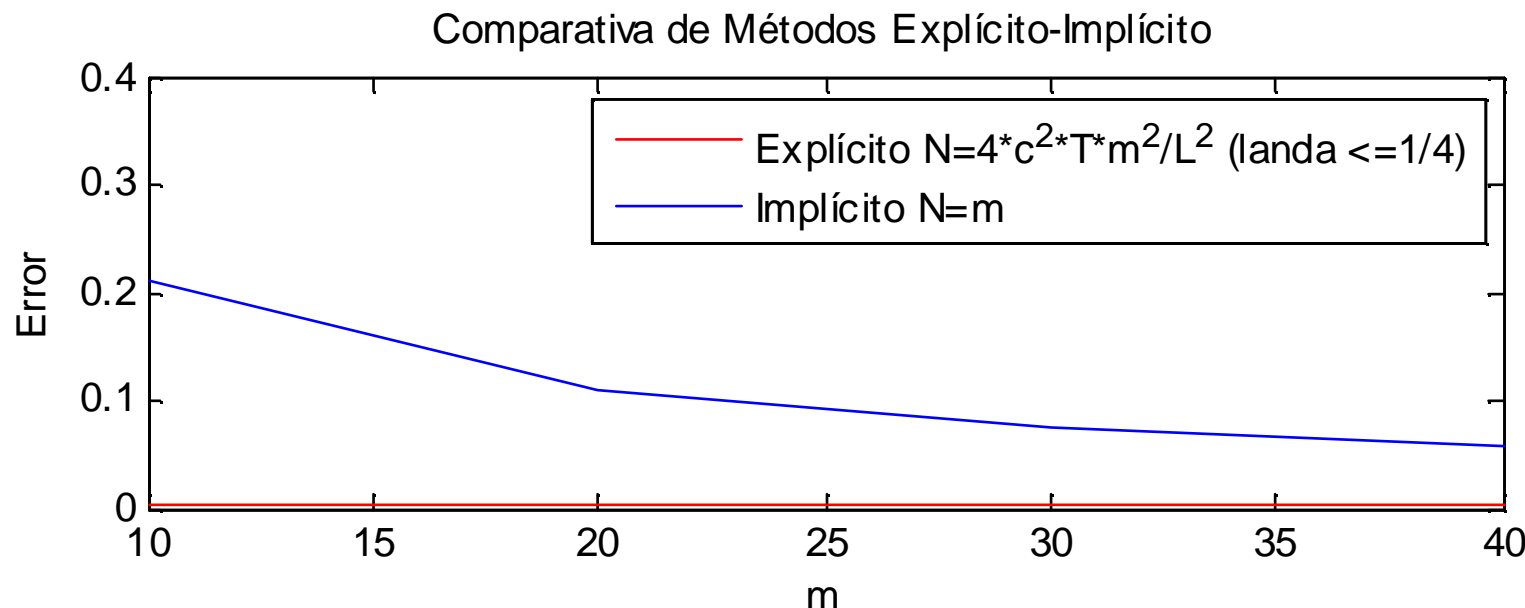
# COMPARACIÓN DE LOS MÉTODOS

Explícito	Implícito	Crank-Nicolson
Solución directa	Sistema de ecuaciones	Sistema de ecuaciones
Condicionalmente estable	Incondicionalmente estable	Incondicionalmente estable
Segundo orden en espacio $O(\Delta x^2)$ y primer orden en tiempo $O(\Delta t)$	Segundo orden en espacio $O(\Delta x^2)$ y primer orden en tiempo $O(\Delta t)$	Segundo orden en espacio y en tiempo $O(\Delta x^2 + \Delta t^2)$

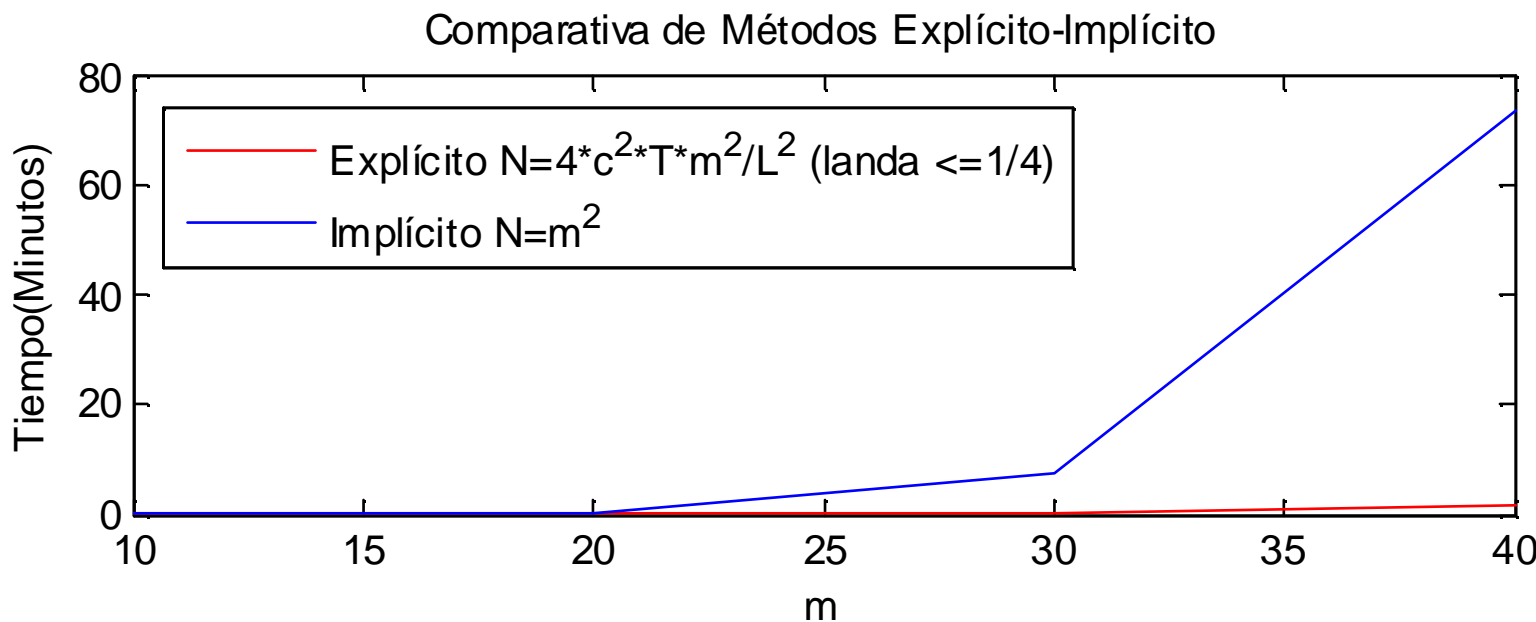
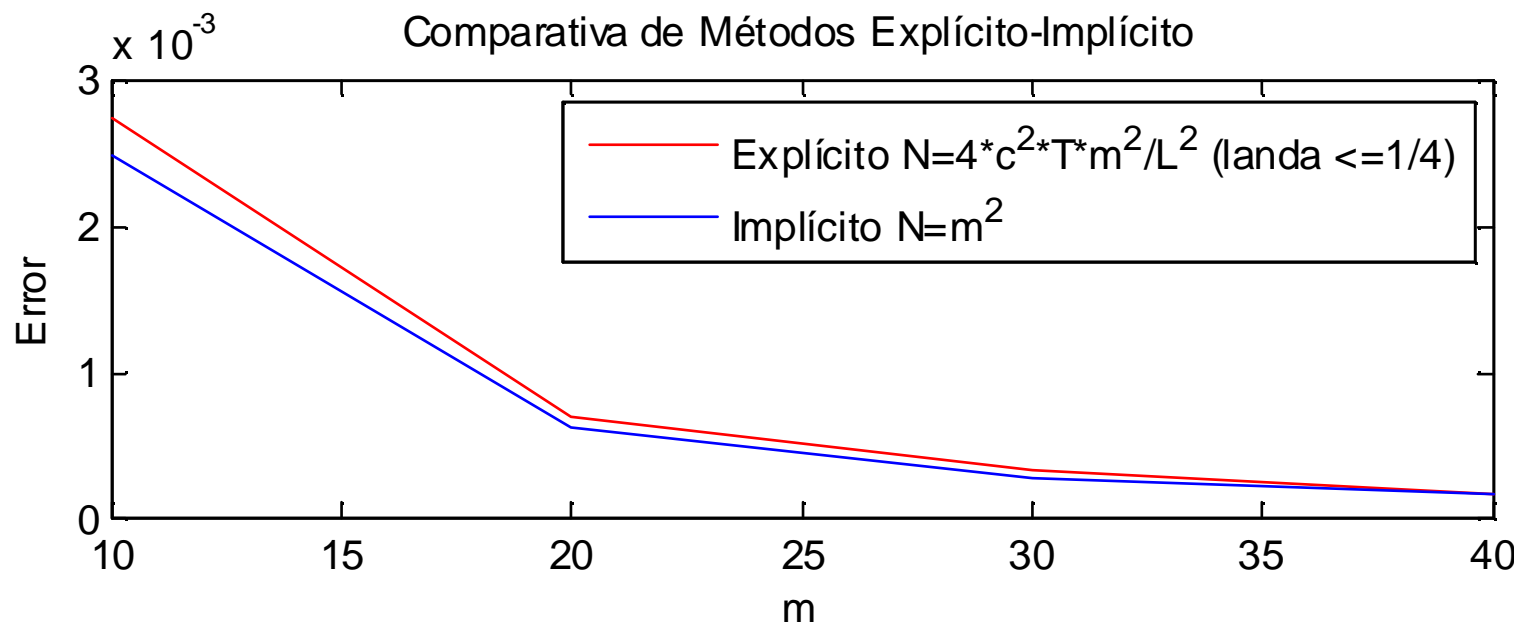
# COMPARACIÓN DE LOS MÉTODOS



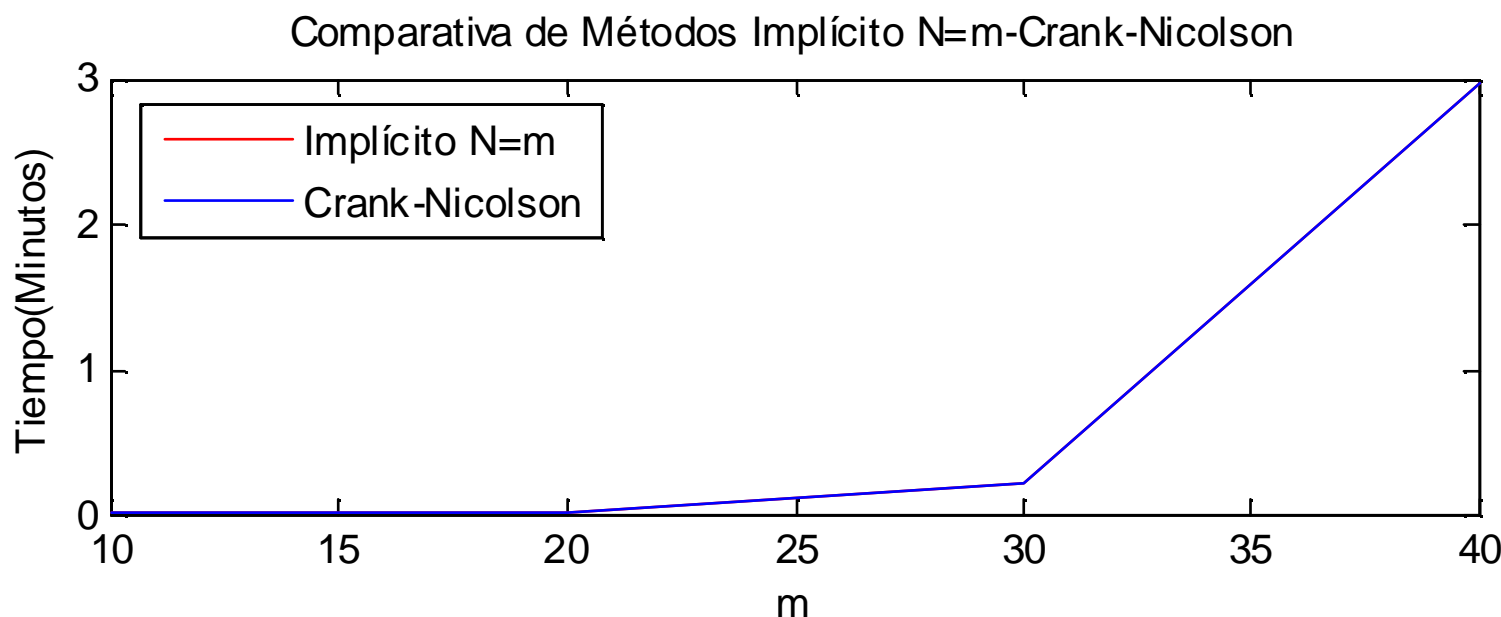
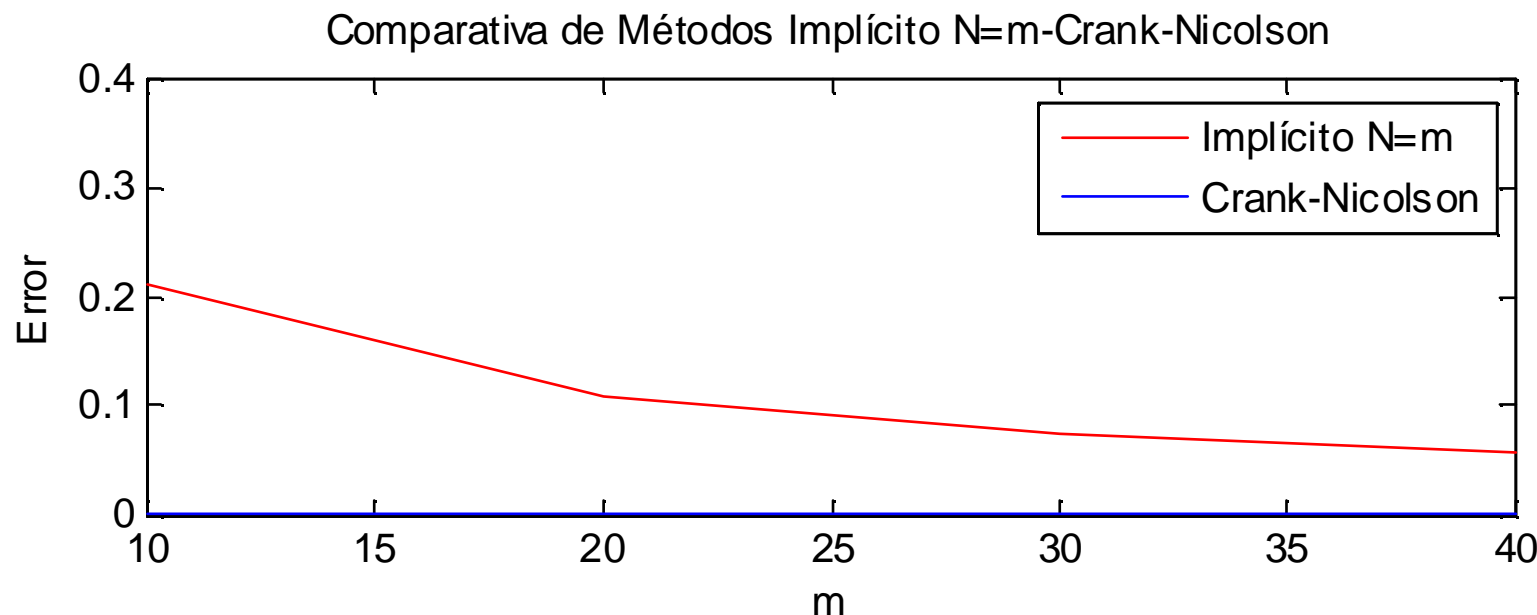
# COMPARACIÓN DE LOS MÉTODOS



# COMPARACIÓN DE LOS MÉTODOS



# COMPARACIÓN DE LOS MÉTODOS



# COMPARACIÓN DE LOS MÉTODOS

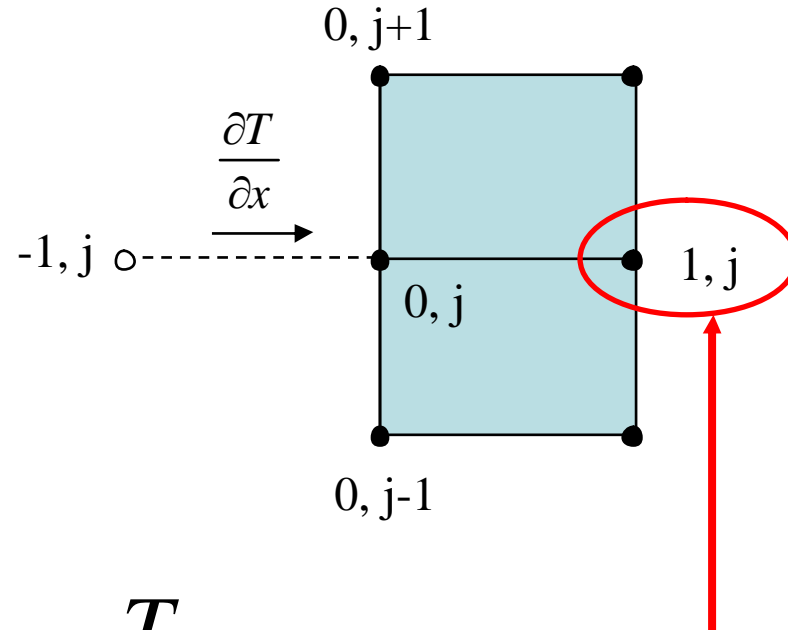
%Implícito N=m

%ERR = m	error	valor obtenido	t(seg)
ERRIM =[10	0.210527916576604	9.085527916576604	0.0781250000000000
20	0.109648267558974	8.984648267558974	0.9531250000000000
30	0.074041942769215	8.949041942769215	12.218750000000000
40	<b>0.055880048754092</b>	8.930880048754093	178.2187500000000];

**%Crank-Nicolson**

%ERR = m	error	valor obtenido	t(seg)
ERRCR=[10	0.002662809420785	8.872337190579215	0.1093750000000000
20	0.000671809989671	8.874328190010330	1.0312500000000000
30	0.000299169436829	8.874700830563171	12.343750000000000
40	<b>0.000168396595161</b>	8.874831603404839	178.2187500000000];

# Condiciones en la frontera de Neumann

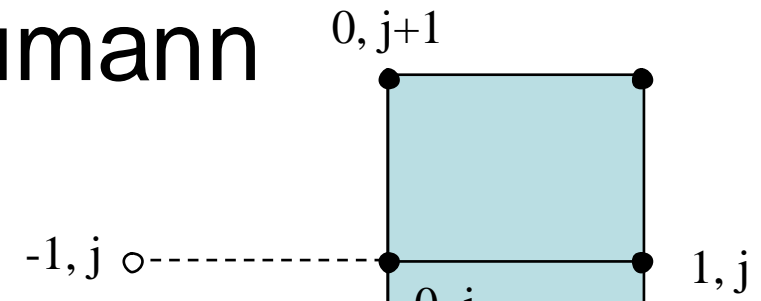


$$\frac{\partial T}{\partial x} \cong \frac{T_{1,j} - T_{-1,j}}{2\Delta x} \rightarrow T_{-1,j} = T_{1,j} - 2\Delta x \frac{\partial T}{\partial x}$$

Estas condiciones generan ecuaciones adicionales para caracterizar a los nodos frontera a los cuales se especifican las derivadas

# Métodos explícitos – Condiciones de contorno tipo Neumann

$$h = \frac{L}{m} \quad k = \frac{T}{N}$$



$$\frac{W_{i,j}^{l+1} - W_{i,j}^l}{k} = c^2 \left( \frac{W_{i+1,j}^l - 2W_{i,j}^l + W_{i-1,j}^l}{h^2} + \frac{W_{i,j+1}^l - 2W_{i,j}^l + W_{i,j-1}^l}{h^2} \right) + F_{i,j}^l$$

$$W_{i,j}^{l+1} = \lambda (W_{i+1,j}^l + W_{i-1,j}^l + W_{i,j+1}^l + W_{i,j-1}^l) + (1 - 4\lambda) * W_{i,j}^l + k * F_{i,j}^l$$

$$\lambda = \frac{c^2 * k}{h^2}$$

$$W_0 = (f(x_i, y_j))_{i=1, \dots, m-1}^{j=1, \dots, m-1}$$

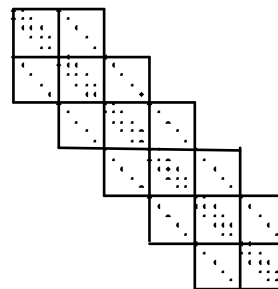
$$W_{j+1} = A * W_j + b_j$$

$$W_j = (W_{i,j}^l)_{i=1, \dots, m-1}^{j=1, \dots, m-1}$$

*Estabilidad*  $\rightarrow \lambda \leq 1/4$

# Explícito tipo Neumann

$$W_{i,j}^{l+1} = \lambda (W_{i+1,j}^l + W_{i-1,j}^l + W_{i,j+1}^l + W_{i,j-1}^l) + (1 - 4\lambda) * W_{i,j}^l + k * F_{i,j}^l$$



$$\begin{bmatrix} A & C & 0 \\ B & A & C \\ 0 & B & A \end{bmatrix}$$

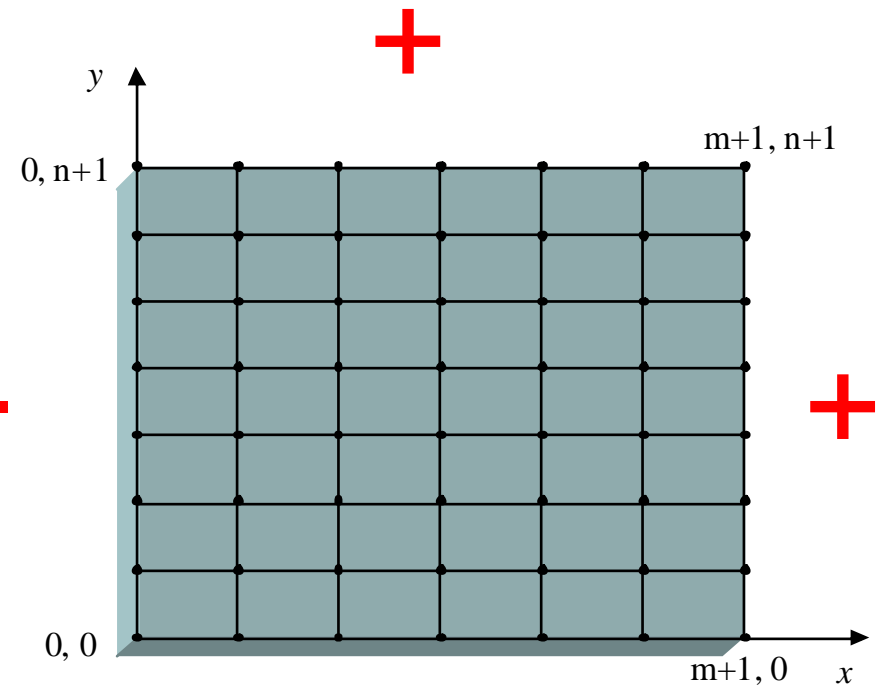
$$W_0 = (f(x_i, y_j))_{i=1, \dots, m-1}^{j=1, \dots, m-1}$$

$$W_{j+1} = A * W_j + b_j$$

$$\begin{bmatrix} 1-4\lambda & 2\lambda & 0 & & & & & & \\ \lambda & 1-4\lambda & \lambda & 2\lambda & 0 & 0 & 0 & 0 & 0 \\ 0 & 2\lambda & 1-4\lambda & 0 & 2\lambda & 0 & 0 & 0 & 0 \\ \lambda & 0 & 0 & \dots & \dots & \dots & \lambda & 0 & 0 \\ 0 & \lambda & 0 & \dots & \dots & \dots & 0 & \lambda & 0 \\ 0 & 0 & \lambda & \dots & \dots & \dots & 0 & 0 & \lambda \\ 0 & 0 & 0 & 2\lambda & 0 & 0 & 1-4\lambda & 2\lambda & 0 \\ 0 & 0 & 0 & 0 & 2\lambda & 0 & \lambda & 1-4\lambda & \lambda \\ 0 & 0 & 0 & 0 & 0 & 2\lambda & 0 & 2\lambda & 1-4\lambda \end{bmatrix}$$

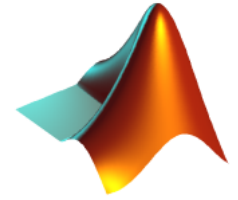
# Neumann Explícito– Vector Bj

$$\begin{bmatrix} k * F_{1,1}^l - 2\lambda(a(x,l) - 2\lambda b(y,l)) \\ k * F_{2,1}^l - 2\lambda a(x,l) \\ \dots \\ k * F_{m-2,1}^l - 2\lambda a(x,l) \\ k * F_{m-1,1}^l - 2\lambda(a(x,l) + 2\lambda d(y,l)) \\ k * F_{1,2}^l - 2\lambda b(y,l) \\ k * F_{2,2}^l \\ \dots \\ k * F_{m-2,2}^l \\ k * F_{m-1,2}^l + 2\lambda d(y,l) \\ \dots \\ \dots \\ \dots \\ \dots \\ k * F_{1,m-2}^l - 2\lambda b(y,l) \\ k * F_{2,m-2}^l \\ \dots \\ k * F_{m-2,m-2}^l \\ k * F_{m-1,m-2}^l + 2\lambda d(y,l) \\ k * F_{1,m-1}^l + 2\lambda(c(x,l) - 2\lambda b(y,l)) \\ k * F_{2,m-1}^l + 2\lambda c(x,l) \\ \dots \\ k * F_{m-2,m-1}^l + 2\lambda c(x,l) \\ k * F_{m-1,m-1}^l + 2\lambda(c(x,l) + 2\lambda d(y,l)) \end{bmatrix}$$

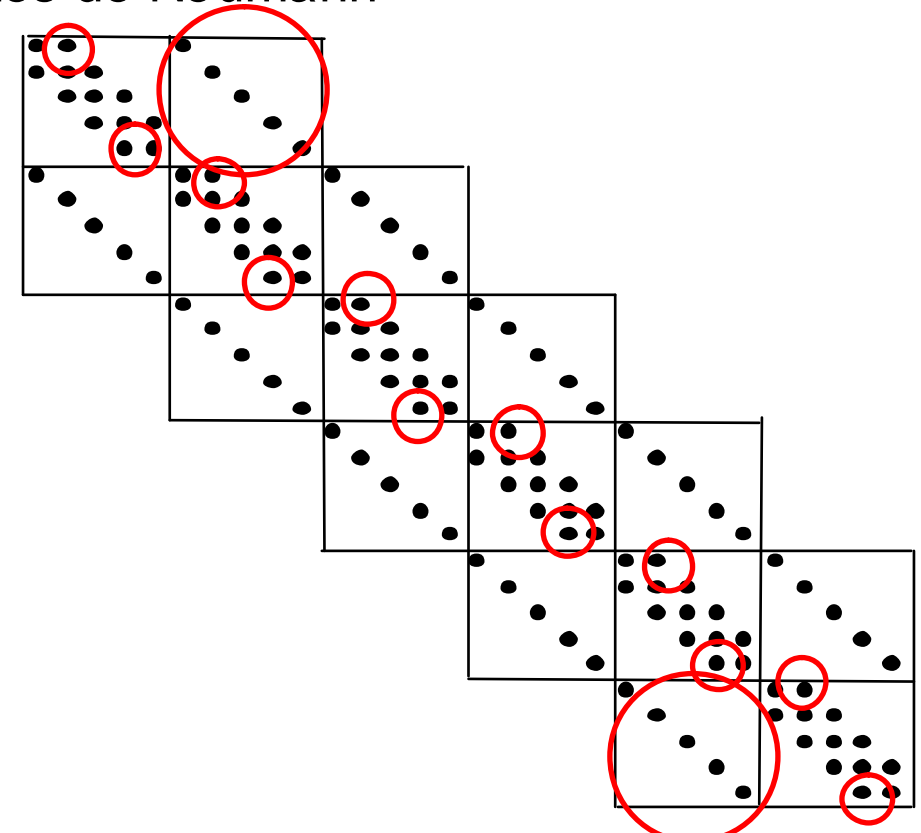


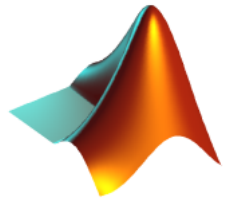
Signos en los extremos

# Programación Matriz Tridiagonal



```
function AA=tridiagonalNeumann2D(a,b,c,m)
A=tridiagonal(a,b,c,m);
%modificaciones de la matriz A para condiciones de Neumann
A(1,2)=2*c;
A(m,m-1)=2*c;
B=tridiagonal(b,0,0,m);
C=tridiagonal(c,0,0,m);
AA=zeros(m*m,m*m);
for i=2:m-1
    AA(((i-1)*m)+1:i*m,((i-2)*m)+1:(i-1)*m)=B;
    AA(((i-1)*m)+1:i*m,((i-1)*m)+1:(i+0)*m)=A;
    AA(((i-1)*m)+1:i*m,((i-0)*m)+1:(i+1)*m)=C;
end
%rellenar la fila 1 y la fila m
AA(1:m,1:m)=A;
AA((m-1)*m)+1:m*m,((m-1)*m)+1:m*m)=A;
%modificaciones de la matriz A para condiciones de Neumann
C=tridiagonal(2*c,0,0,m);
AA(1:m,m+1:2*m)=C;
AA((m-1)*m)+1:m*m,((m-2)*m)+1:(m-1)*m)=C;
```

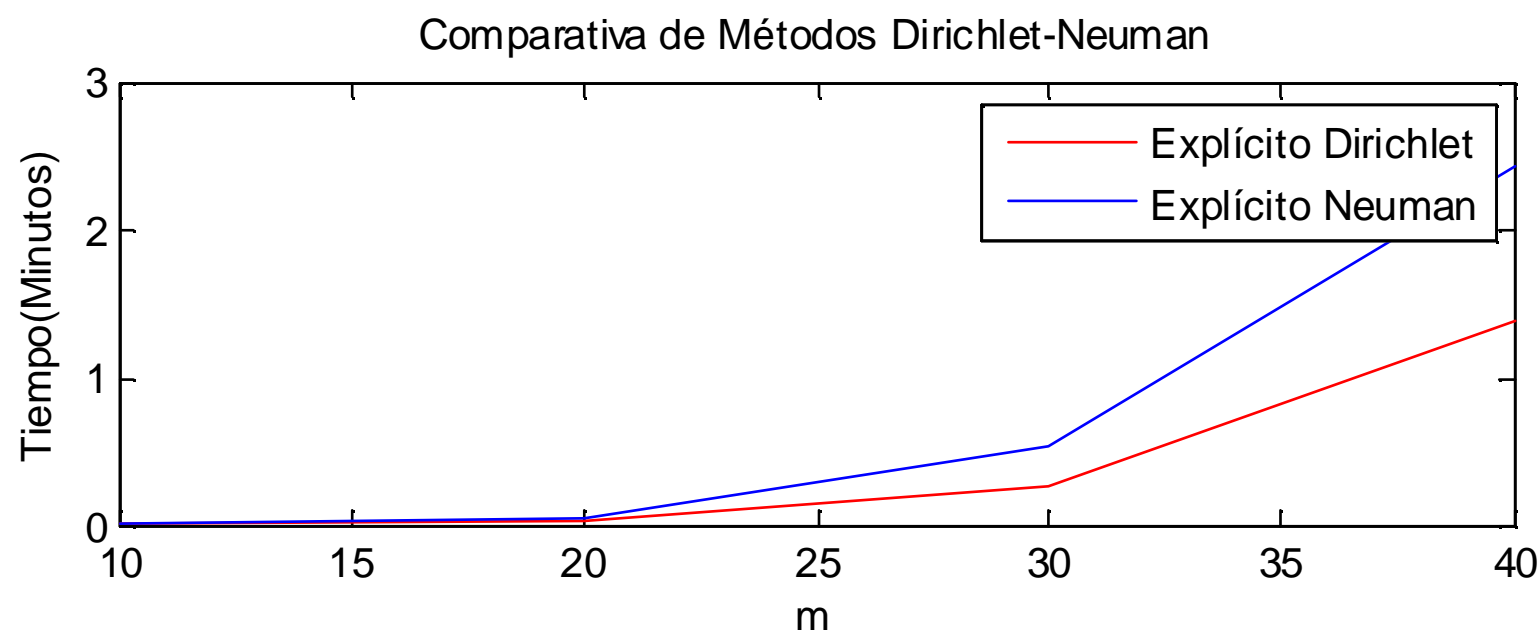
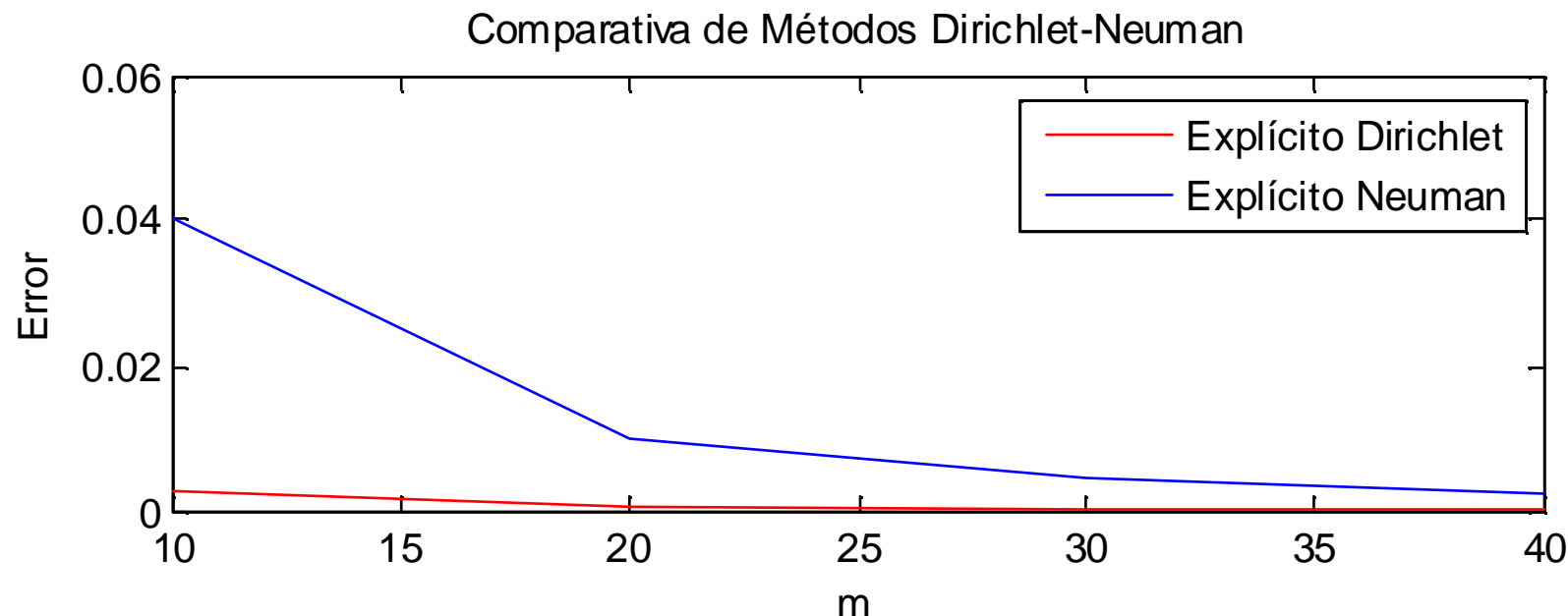




# Neumann Explícito - Vector Bj

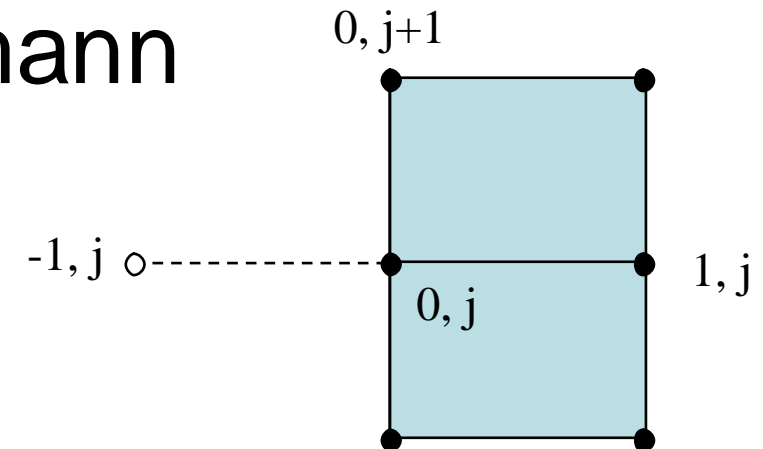
```
for i=0:m
    for ii=0:m
        b(i+1,ii+1)=k*GG(i*h,ii*h,j*k);
    end
end
%En los bordes de la placa se aplican condiciones de Neumann
for i=0:m
    b(i+1,1)=b(i+1,1)-2*la*h*aa(i*h,j*k);
    b(1,i+1)=b(1,i+1) -2*la*h*bb(i*h,j*k);
    b(i+1,m+1)=b(i+1,m+1)+2*la*h*cc(i*h,j*k);
    b(m+1,i+1)=b(m+1,i+1)+2*la*h*dd(i*h,j*k);
end
```

# Resultados Neumann-Explícito



# Métodos Implícito - Condiciones de contorno tipo Neumann

$$h = \frac{L}{m} \quad k = \frac{T}{N} \quad \lambda = \frac{c^2 * k}{h^2}$$



$$\frac{W_{i,j}^{l+1} - W_{i,j}^l}{k} = c^2 \left( \frac{W_{i+1,j}^{l+1} - 2W_{i,j}^{l+1} + W_{i-1,j}^{l+1}}{h^2} + \frac{W_{i,j+1}^{l+1} - 2W_{i,j}^{l+1} + W_{i,j-1}^{l+1}}{h^2} \right) + F_{i,j}^{l+1}$$

$$(1 + 4\lambda) * W_{i,j}^{l+1} - \lambda (W_{i+1,j}^{l+1} + W_{i-1,j}^{l+1} + W_{i,j+1}^{l+1} + W_{i,j-1}^{l+1}) = W_{i,j}^l + k * F_{i,j}^{l+1}$$

$$W_0 = (f(x_i, y_j))_{i=1, \dots, m-1}^{j=1, \dots, m-1}$$

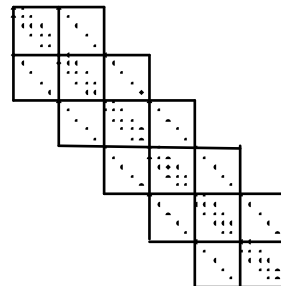
$$A * W_{j+1} = W_j + c_j$$

$$W_j = (W_{i,j}^l)_{i=1, \dots, m-1}^{j=1, \dots, m-1}_{l=1, \dots, N-1}$$

Incondicionalmente estable

# Métodos implícito – Matriz Tridiagonal

$$(1 + 4\lambda) * W_{i,j}^{l+1} - \lambda (W_{i+1,j}^{l+1} + W_{i-1,j}^{l+1} + W_{i,j+1}^{l+1} + W_{i,j-1}^{l+1}) = W_{i,j}^l + k * F_{i,j}^{l+1}$$



$$\begin{bmatrix} A & C & 0 \\ B & A & C \\ 0 & B & A \end{bmatrix}$$

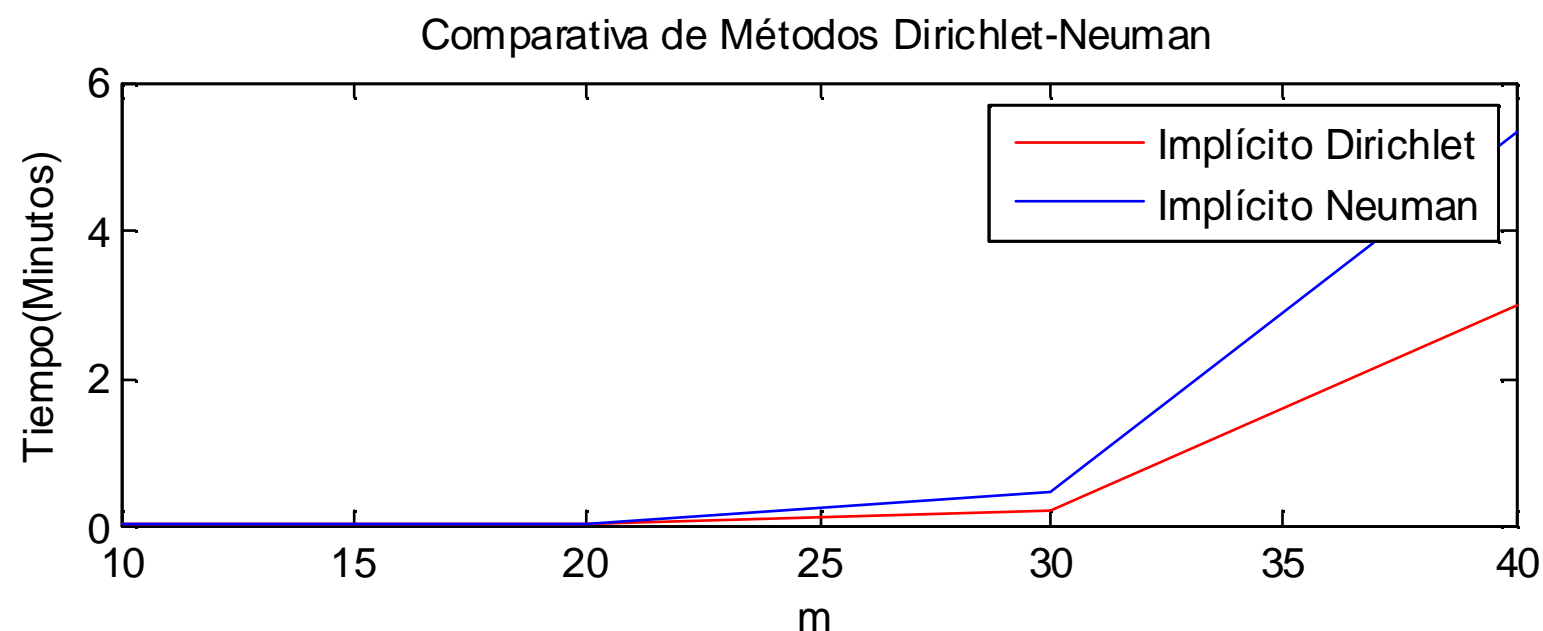
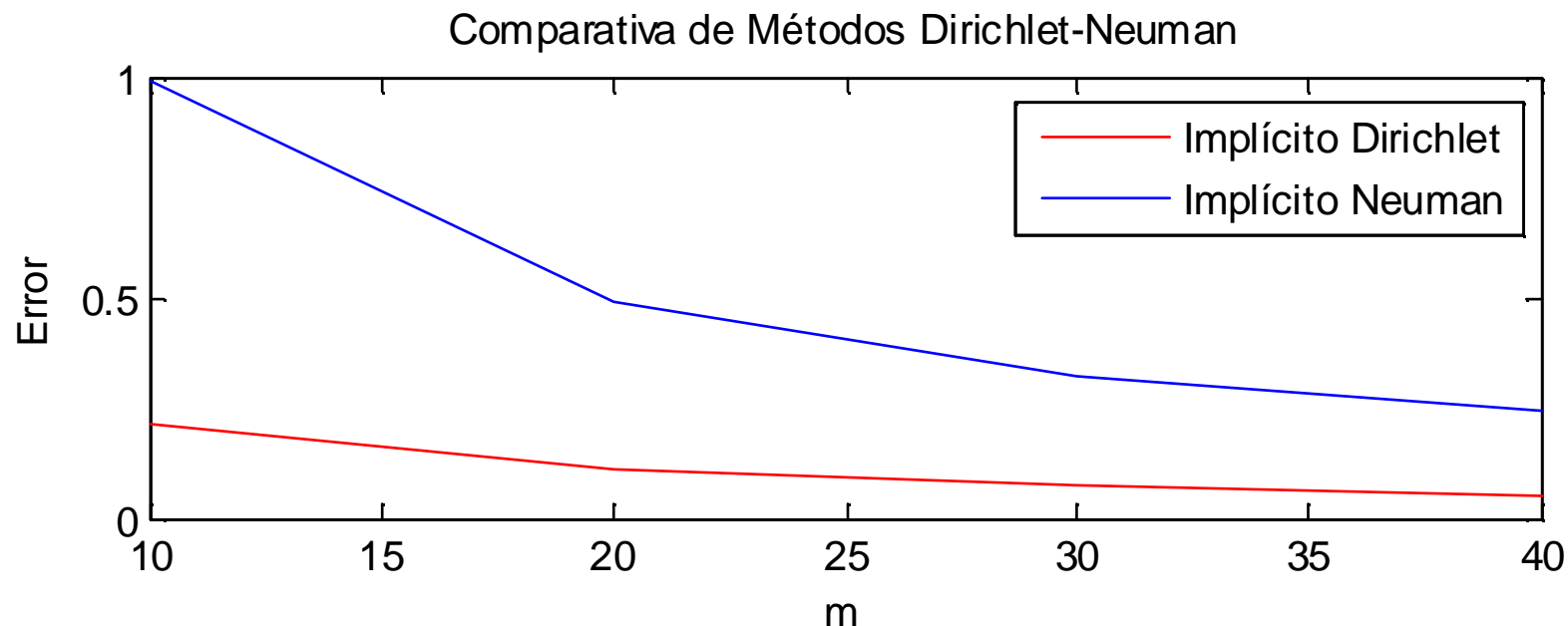
$$W_0 = (f(x_i, y_j))_{i=1, \dots, m-1}^{j=1, \dots, m-1}$$

$$A * W_{j+1} = W_j + c_j$$

$$\begin{bmatrix} 1+4\lambda & -2\lambda & 0 & & & & & & \\ -\lambda & 1+4\lambda & -\lambda & -2\lambda & 0 & 0 & 0 & 0 & \\ 0 & -2\lambda & 1+4\lambda & 0 & 0 & 0 & -2\lambda & 0 & \\ -\lambda & 0 & 0 & \dots & \dots & \dots & 0 & 0 & \\ 0 & -\lambda & 0 & \dots & \dots & \dots & 0 & -\lambda & \\ 0 & 0 & -\lambda & \dots & \dots & \dots & 0 & 0 & \\ 0 & 0 & 0 & -2\lambda & 0 & 0 & 1+4\lambda & -2\lambda & \\ 0 & 0 & 0 & 0 & -2\lambda & 0 & -\lambda & 1+4\lambda & -\lambda \\ 0 & 0 & 0 & 0 & 0 & -2\lambda & 0 & -2\lambda & 1+4\lambda \end{bmatrix}$$

The matrix is divided into four quadrants by dashed lines. Red boxes highlight the top-left element (1+4λ), the bottom-right element (1+4λ), and the off-diagonal elements (-2λ). Red ovals enclose the 3x3 submatrix in the top-right quadrant and the 3x3 submatrix in the bottom-left quadrant.

# Resultados Neumann-Implícito



# Crank - Nicolson - Implicito Neumann

$$\frac{W_{i,j}^{l+1} - W_{i,j}^l}{k} = \frac{c^2}{2} \left( \frac{W_{i+1,j}^{l+1} - 2W_{i,j}^{l+1} + W_{i-1,j}^{l+1}}{h^2} + \frac{W_{i,j+1}^{l+1} - 2W_{i,j}^{l+1} + W_{i,j-1}^{l+1}}{h^2} \right) + \\ + \frac{c^2}{2} \left( \frac{W_{i+1,j}^l - 2W_{i,j}^l + W_{i-1,j}^l}{h^2} + \frac{W_{i,j+1}^l - 2W_{i,j}^l + W_{i,j-1}^l}{h^2} \right) + F_{i,j}^{l+1/2}$$

$$(1 + 2\lambda) * W_{i,j}^{l+1} - \frac{\lambda}{2} (W_{i+1,j}^{l+1} + W_{i-1,j}^{l+1} + W_{i,j+1}^{l+1} + W_{i,j-1}^{l+1}) = \\ (1 - 2\lambda) * W_{i,j}^l + \frac{\lambda}{2} (W_{i+1,j}^l + W_{i-1,j}^l + W_{i,j+1}^l + W_{i,j-1}^l) + k * F_{i,j}^{l+1/2}$$

$$\lambda = \frac{c^2 * k}{h^2}$$

$$W_0 = (f(x_i, y_j))_{i=1, \dots, m-1}^{j=1, \dots, m-1}$$

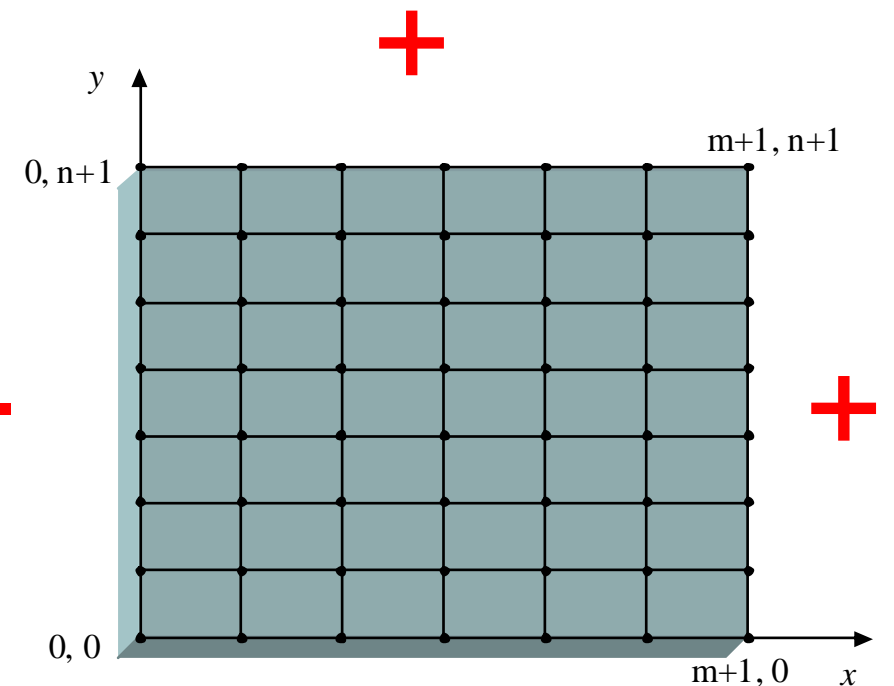
$$A * W_{j+1} = B * W_j + c_j$$

$$W_j = (W_{i,j}^l)_{i=1, \dots, m-1}^{j=1, \dots, m-1}$$

Incondicionalmente estable

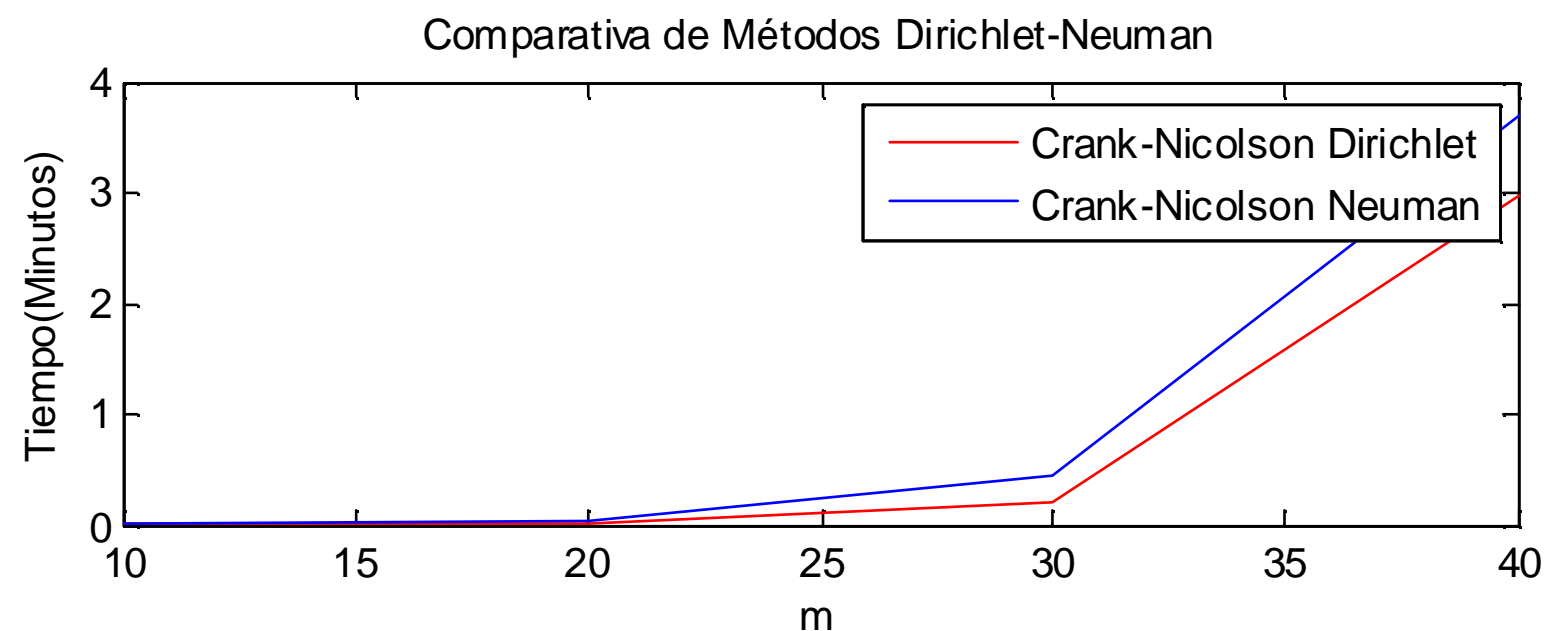
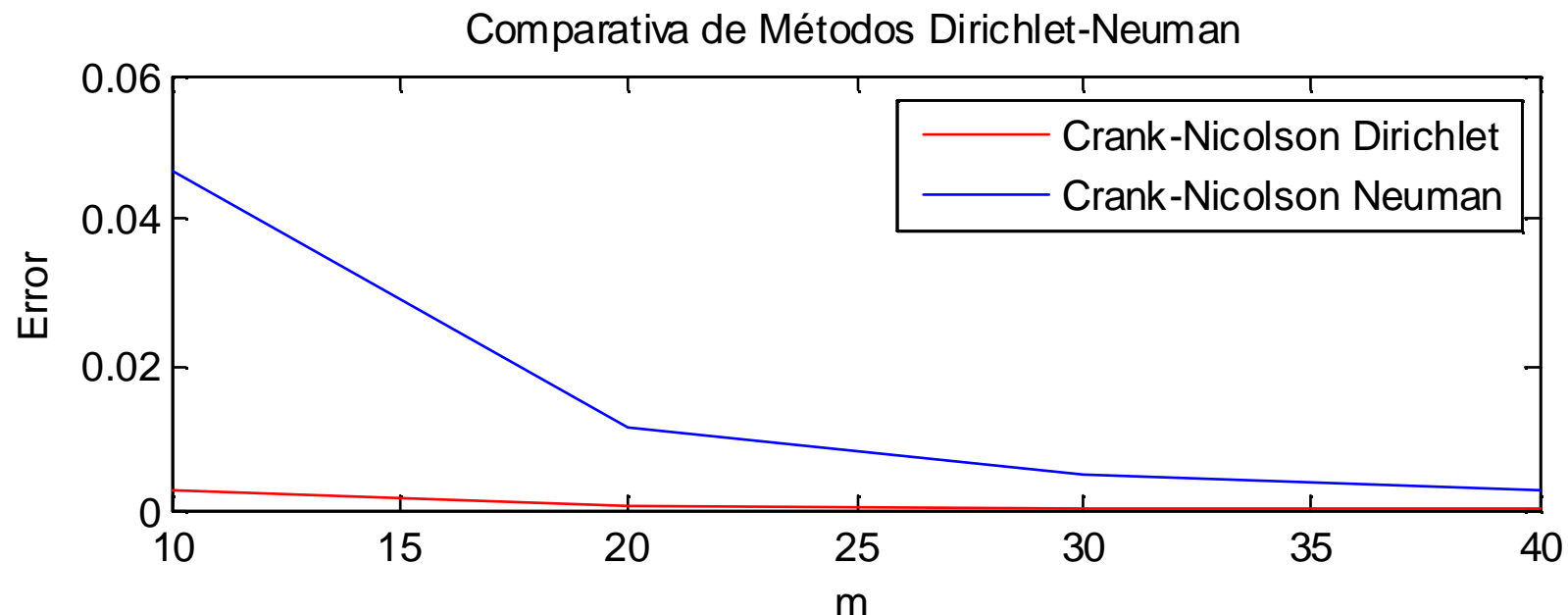
# Crank - Nicolson– Vector Cj

$$\begin{bmatrix}
 k * F_{1,1}^l - \lambda(a(x, l) + a(x, l+1)) - \lambda(b(x, l) + b(x, l+1)) \\
 k * F_{2,1}^l - \lambda(a(x, l) + a(x, l+1)) \\
 \dots \\
 k * F_{m-2,1}^l - \lambda(a(x, l) + a(x, l+1)) \\
 k * F_{m-1,1}^l - \lambda(a(x, l) + a(x, l+1)) + \lambda(d(x, l) + d(x, l+1)) \\
 k * F_{1,2}^l - \lambda(b(x, l) + b(x, l+1)) \\
 k * F_{2,2}^l \\
 \dots \\
 k * F_{m-2,2}^l \\
 k * F_{m-1,2}^l + \lambda(d(x, l) + d(x, l+1)) \\
 \dots \\
 \dots \\
 \dots \\
 \dots \\
 k * F_{1,m-2}^l - \lambda(b(x, l) + b(x, l+1)) \\
 k * F_{2,m-2}^l \\
 \dots \\
 k * F_{m-2,m-2}^l \\
 k * F_{m-1,m-2}^l + \lambda(d(x, l) + d(x, l+1)) \\
 k * F_{1,m-1}^l + \lambda(c(x, l) + c(x, l+1)) - \lambda(b(x, l) + b(x, l+1)) \\
 k * F_{2,m-1}^l + \lambda(c(x, l) + c(x, l+1)) \\
 \dots \\
 k * F_{m-2,m-1}^l + \lambda(c(x, l) + c(x, l+1)) \\
 k * F_{m-1,m-1}^l + \lambda(c(x, l) + c(x, l+1)) + \lambda(d(x, l) + d(x, l+1))
 \end{bmatrix}$$



Signos en los extremos

# Resultados CranK - Nicolson - Neumann



# **Ecuación del calor Bidimensional**

**Gracias por vuestra atención**

**UHU – 4º Ingeniero Industrial - Curso 2008/09**

**Profesor: Antonio Algaba Durán**

**Alumno: Luis Heredia Castillo**

Anexo 1: algoritmos para la discretización de la ecuación bidimensional del calor.

## Condiciones de frontera tipo Dirichlet.

### Algoritmos comunes a los tres métodos estudiados:

```
function Dirichlet
%Cálculo de las condiciones de contorno tipo Dirichlet
%clc
%clear all
c=1;L=1;
syms x y t
%Función solución exacta.
u=x^4+y^4+t^4+x^2+y^2+3*t^5+4;

fprintf('u=');
pretty(u);
ux=diff(u,'x');
uy=diff(u,'y');
ut=diff(u,'t');
uxx=diff(ux,'x');
uyy=diff(uy,'y');
%
%Calculo la función F(x,y,t) desde la ECD la llamo GG
GG=ut-c*(uxx+uyy);
GG=vectorize(GG);
GG=inline(GG,'x','y','t')
%
%Calculo f(x,y) y la llamo ff
syms x y t
t=0;
ff=eval(vectorize(u));
ff=inline(ff)
%
%Calculo a(x,t) la llamo aa(x,t)=u(x,0,t)
syms x y t
y=0;
aa=eval(vectorize(u));
aa=inline(aa)
%
%Calculo b(y,t) la llamo bb(y,t)=u(0,y,t)
syms x y t
x=0;
bb=eval(vectorize(u));
bb=inline(bb)
%
%Calculo c(x,t) la llamo cc(x,t)=u(x,L,t)
syms x y t
y=L;
cc=eval(vectorize(u));
cc=inline(cc)
%
%Calculo d(y,t) la llamo dd(y,t)=u(L,y,t)
syms x y t
x=L;
dd=eval(vectorize(u));
```

```
dd=inline(dd)
```

```
function y=aa(x,t)
y=x.^4+t.^4+x.^2+3.*t.^5+4;
```

```
function y=bb(y,t)
y=y.^4+t.^4+y.^2+3.*t.^5+4;
```

```
function y=cc(x,t)
y=x.^4+6*t.^4+x.^2+3.*t.^5+x.*t;
```

```
function y=dd(y,t)
y=6+y.^4+t.^4+y.^2+3.*t.^5+y.*t;
```

```
function y=ff(x,y)
y=x.^4+y.^4+x.^2+y.^2+4;
```

```
function y=GG(x,y,t)
y=4.*t.^3+15.*t.^4+x.*y-12.*x.^2-4-12.*y.^2;
```

```
function u=exacta(x,y,t)
u=x.^4+y.^4+t.^4+x.^2+y.^2+3.*t.^5+x.*y.*t+4;
```

```
function A=tridiagonal(a,b,c,m)
A=zeros(m,m);%primer elemento es la fila, y el segundo la columna.
for i=2:m-1
    A(i,i-1)=b;
    A(i,i)=a;
    A(i,i+1)=c;
end
A(1,1)=a;
A(1,2)=c;
A(m,m-1)=b;
A(m,m)=a;
```

```
function AA=tridiagonal2D(a,b,c,m)
A=tridiagonal(a,b,c,m);
B=tridiagonal(b,0,0,m);
C=tridiagonal(c,0,0,m);
AA=zeros(m*m,m*m);
for i=2:m-1
    AA(((i-1)*m)+1:i*m,((i-2)*m)+1:(i-1)*m)=B;
    AA(((i-1)*m)+1:i*m,((i-1)*m)+1:(i+0)*m)=A;
    AA(((i-1)*m)+1:i*m,((i-0)*m)+1:(i+1)*m)=C;
end
AA(1:m,1:m)=A;
AA(1:m,m+1:2*m)=C;
AA(((m-1)*m)+1:m*m,((m-2)*m)+1:(m-1)*m)=B;
AA(((m-1)*m)+1:m*m,((m-1)*m)+1:m*m)=A;
```

### **Condiciones de frontera tipo Dirichlet . Método Explícito:**

```
function [WN Err]=calorexplicito2D(m,N,L,c,T)
%definir k,h,la
```

```

% $m=10; N=10; L=1; c=1; T=1;$ 
k=T/N;
h=L/m;
la=c^2*k/h^2;
%definir A
A=tridiagonal2D(1-4*la,la,la,m-1);
%max(eig(inv(A)))
%calculo de W0
W0=zeros(m-1,m-1);%lo creamos inicialmente como matriz
for i=1:m-1
    for ii=1:m-1
        W0(i,ii)=ff(i*h,ii*h);
    end
end
W=zeros((m-1)*(m-1),1);%lo convertimos en un vector de pie
for i=1:m-1
    W(1+((i-1)*(m-1)):i*(m-1),1)=W0(:,i);
end

%Calculo W1,W2,...,WN
for j=0:N-1
    %construcción de Bj
    b=zeros(m-1,m-1);%lo creamos inicialmente como matriz
    %Fuerza externa
    for i=1:m-1
        for ii=1:m-1
            b(i,ii)=k*GG(i*h,ii*h,j*k);
        end
    end
    %En los bordes de la placa condiciones de Dirichlet
    for i=1:m-1
        b(i,1)=b(i,1)+la*aa(i*h,j*k);
        b(i,m-1)=b(i,m-1)+la*cc(i*h,j*k);
        b(1,i)=b(1,i)+la*bb(i*h,j*k);
        b(m-1,i)=b(m-1,i)+la*dd(i*h,j*k);
    end
    B=zeros((m-1)*(m-1),1);%lo convertimos en un vector de pie
    for i=1:m-1
        B(1+((i-1)*(m-1)):i*(m-1),1)=b(:,i);
    end
    %Cálculo de W1,..,WN
    W=(A*W)+B;%con Jacobi: W=Jacobi(A,W+c,...)
end
WN=zeros(m+1,m+1);%Para dar el resultado como una matriz
for i=2:m
    WN(i,1)=aa((i-1)*h,T);
    WN(i,m+1)=cc((i-1)*h,T);
    WN(1,i)=bb((i-1)*h,T);
    WN(m+1,i)=dd((i-1)*h,T);
    WN(2:m,i)=[W(1+((i-2)*(m-1)):i*(m-1),1)];
end
%los valores de las esquinas
WN(1,1)=aa(0,T);
WN(1,m+1)=aa(L,T);
WN(m+1,1)=cc(0,T);
WN(m+1,m+1)=cc(L,T);
Wexac=exacta(L/2,L/2,T);
Err=norm(Wexac-WN(1+(m/2),1+(m/2)));

```

```
%Dibujar el error en función de m en el centro de la placa con
%condiciones
%de frontera tipo Dirichelt
clc
clear all
format long
c=1;
L=1;
T=1;
ERR=zeros(4,4);
for i=10:10:40
    m=i;
    N=4*c^2*T*m^2/L^2;%para que cumpla la condición de estabilidad
    if i<=1/4
        t = cputime;
        [WN Err]=calorexplícito2D(m,N,L,c,T);
        e=cputime-t;
        ERR(i/10,:)=[m Err WN(1+(m/2),1+(m/2)) e]
    end

    %Elog=log(ERR(:,2));
    %Min=min(Elog);
    %Elogdesp=Elog-Min*ones(size(Elog),1);
    subplot(2,1,1);
    %plot(ERR(:,1),Elogdesp);
    plot(ERR(:,1),ERR(:,2));
    title('Método Explícito N=4*c^2*T*m^2/L^2');
    xlabel('m');
    ylabel('Error');
    subplot(2,1,2);
    plot(ERR(:,1),ERR(:,4)/60);
    title('Método Explícito N=4*c^2*T*m^2/L^2');
    xlabel('m');
    ylabel('Tiempo(Minutos)')

```

```
%Resultado método Explícito con frontera tipo Dirichelt
%N=4*c^2*T*m^2/L^2
ERR =[10 0.002480317444713 4.652610317444713 0.140625000000
      20 0.000620860723848 4.650750860723848 0.187500000000
      30 0.000276007140810 4.650406007140810 1.734375000000
      40 0.000155267813037 4.650285267813037 8.265625000000
      50 0.000099375510253 4.650229375510253 29.000000000000
      60 0.000069012325659 4.650199012325659 82.078125000000
      70 0.000050703622783 4.650180703622783 428.9218750000
      80 0.000038820304554 4.650168820304554 1008.3125000000
      90 0.000030673019068 4.650160673019068 2154.9062500000];

subplot(2,1,1);
plot(ERR(:,1),ERR(:,2));
title('Método Explícito N=4*c^2*T*m^2/L^2');
xlabel('m');
ylabel('Error');
subplot(2,1,2);
plot(ERR(:,1),ERR(:,4)/60);
title('Método Explícito N=4*c^2*T*m^2/L^2');
xlabel('m');
ylabel('Tiempo(Minutos)')
```

## **Condiciones de frontera tipo Dirichlet . Método Implícito:**

```
function [WN Err]=calorimplícito2D(m,N,L,c,T)
%definir k,h,la
%m=10;N=10;L=1;c=1;T=1;
k=T/N;
h=L/m;
la=c^2*k/h^2;
%definir A
A=tridiagonal2D(1+4*la,-la,-la,m-1);
%Radio Espectral de la matriz
%max(eig(inv(A)))
%calculo de W0
W0=zeros(m-1,m-1);%lo creamos inicialmente como matriz
for i=1:m-1
    for ii=1:m-1
        W0(i,ii)=ff(0+i*h,0+ii*h);
    end
end
W=zeros((m-1)*(m-1),1);%lo convertimos en un vector de pie
for i=1:m-1
    W(1+((i-1)*(m-1)):i*(m-1),1)=W0(:,i);
end

%Calculo W1,W2,...,WN
for j=0:N-1
    %construcción de Cj
    c=zeros(m-1,m-1);%lo creamos inicialmente como matriz
    %Fuerza externa
    for i=1:m-1
        for ii=1:m-1
            c(i,ii)=k*GG(i*h,ii*h,(j+1)*k);
        end
    end
    %En los bordes de la placa se aplican condiciones de Dirichlet
    for i=1:m-1
        c(i,1)=c(i,1)+la*aa(i*h,(j+1)*k);
        c(i,m-1)=c(i,m-1)+la*cc(i*h,(j+1)*k);
        c(1,i)=c(1,i)+la*bb(i*h,(j+1)*k);
        c(m-1,i)=c(m-1,i)+la*dd(i*h,(j+1)*k);
    end
    C=zeros((m-1)*(m-1),1);%lo convertimos en un vector de pie
    for i=1:m-1
        C(1+((i-1)*(m-1)):i*(m-1),1)=c(:,i);
    end
    %Cálculo de W1,..,WN
    W=A\W+C;%con Jacobi: W=Jacobi(A,W+c,...)
end
WN=zeros(m+1,m+1);%Para dar el resultado como una matriz
for i=2:m
    WN(i,1)=aa((i-1)*h,T);
    WN(i,m+1)=cc((i-1)*h,T);
    WN(1,i)=bb((i-1)*h,T);
    WN(m+1,i)=dd((i-1)*h,T);
    WN(2:m,i)=[W(1+((i-2)*(m-1)):i*(m-1),1)];
end
%los valores de las esquinas
WN(1,1)=aa(0,T);
WN(1,m+1)=aa(L,T);
WN(m+1,1)=cc(0,T);
```

```

WN(m+1,m+1)=cc(L,T);

Wexac=exacta(L/2,L/2,T);
Err=abs(Wexac-WN(1+(m/2),1+(m/2)));

```

```

%Dibujar el error en función de m en el centro de la placa con
%condiciones
%de frontera tipo Dirichelt - Algoritmo implícito
clc
clear all
format long
c=1;
L=1;
T=1;
ERR=zeros(4,4);
for i=10:10:40
    m=i;
    N=4*c^2*T*m^2/L^2;
    %N=m^2;
    t = cputime;
    [WN Err]=calorimplicito2D(m,N,L,c,T);
    e=cputime-t;
    ERR(i/10,:)=[m Err WN(1+(m/2),1+(m/2)) e]
end
subplot(2,1,1);
%plot(ERR(:,1),Elogdesp);
plot(ERR(:,1),ERR(:,2));
%title('Error');
xlabel('m');
ylabel('Error')
subplot(2,1,2);
plot(ERR(:,1),ERR(:,4)/60);
%title('Tiempo (Minutos)');
xlabel('m');
ylabel('Tiempo(Minutos)')

```

```

%Resultado método implícito con frontera tipo Dirichelt
%N=m
ERR =[ 10    0.002402983205486    4.652532983205486    0.0781250000000000
       20    0.000621970768977    4.650751970768977    1.0000000000000000
       30    0.000281086222335    4.650411086222335    12.20312500000000
       40    0.000160136992987    4.650290136992987    89.25000000000000
       50    0.000103641458773    4.650233641458772    767.890625000000
       60    0.000072726606555    4.650202726606555    2537.921875000000
       70    0.000053965667774    4.650183965667774    6537.953125000000];

```

```

subplot(2,1,1);
plot(ERR(:,1),ERR(:,2));
title('Método Implícito N=m');
xlabel('m');
ylabel('Error')
subplot(2,1,2);
plot(ERR(:,1),ERR(:,4)/60);
title('Método Implícito N=m');
xlabel('m');
ylabel('Tiempo(Minutos)')

```

## **Condiciones de frontera tipo Dirichlet . Método Crank Nicolson:**

```
function [WN Err]=calorCrank2D(m,N,L,c,T)
%definir k,h,la
%m=10;N=10;L=1;c=1;T=1;
k=T/N;
h=L/m;
la=c^2*k/h^2;
%definir A
A=tridiagonal2D(1+2*la,-la/2,-la/2,m-1);
%max(eig(inv(A)))
B=tridiagonal2D(1-2*la,la/2,la/2,m-1);
%calculo de W0
W0=zeros(m-1,m-1);%lo creamos inicialmente como matriz
for i=1:m-1
    for ii=1:m-1
        W0(i,ii)=ff(0+i*h,0+ii*h);
    end
end
W=zeros((m-1)*(m-1),1);%lo convertimos en un vector de pie
for i=1:m-1
    W(1+((i-1)*(m-1)):i*(m-1),1)=W0(:,i);
end

%Calculo W1,W2,...,WN
for j=0:N-1
    %construcción de Cj
    c=zeros(m-1,m-1);%lo creamos inicialmente como matriz
    %Fuerza externa
    for i=1:m-1
        for ii=1:m-1
            c(i,ii)=k*GG(i*h,ii*h,(j+1/2)*k);
        end
    end
    %En los bordes de la placa condiciones de Dirichlet
    for i=1:m-1
        c(i,1)=c(i,1)+la/2*(aa(i*h,(j+1)*k)+aa(i*h,(j)*k));
        c(i,m-1)=c(i,m-1)+la/2*(cc(i*h,(j+1)*k)+cc(i*h,(j)*k));
        c(1,i)=c(1,i)+la/2*(bb(i*h,(j+1)*k)+bb(i*h,(j)*k));
        c(m-1,i)=c(m-1,i)+la/2*(dd(i*h,(j+1)*k)+dd(i*h,(j)*k));
    end
    C=zeros((m-1)*(m-1),1);%lo convertimos en un vector de pie
    for i=1:m-1
        C(1+((i-1)*(m-1)):i*(m-1),1)=c(:,i);
    end
    %Cálculo de W1,..,WN
    W=A\B*W+C; %con Jacobi: W=Jacobi(A,W+c,...)
end
WN=zeros(m+1,m+1);%Para dar el resultado como una matriz
for i=2:m
    WN(i,1)=aa((i-1)*h,T);
    WN(i,m+1)=cc((i-1)*h,T);
    WN(1,i)=bb((i-1)*h,T);
    WN(m+1,i)=dd((i-1)*h,T);
    WN(2:m,i)=[W(1+((i-2)*(m-1)):i-1)*(m-1),1];
end
%los valores de las esquinas
WN(1,1)=aa(0,T);
WN(1,m+1)=aa(L,T);
WN(m+1,1)=cc(0,T);
```

```

WN(m+1,m+1)=cc(L,T);
Wexac=exacta(L/2,L/2,T);
Err=abs(Wexac-WN(1+(m/2),1+(m/2)));

```

```

%Dibujar el error en función de m en el centro de la placa con
%condiciones
%de frontera tipo Dirichelt - Algoritmo Crank Nicolson
clc
clear all
format long
c=1;
L=1;
T=1;
ERR=zeros(4,4);
for i=10:10:40
    m=i;
    N=m;
    t = cputime;
    [WN Err]=calorCrank2D(m,N,L,c,T);
    e=cputime-t;
    ERR(i/10,:)=[m Err WN(1+(m/2),1+(m/2)) e]
end

%Extrapolación de Richardson
%Ri=Richardson(ERR(:,3),exacta(L/2,L/2,T))

%Dibujar el error en función de m
%Elog=log(ERR(:,2));
%Min=min(Elog);
%Elogdesp=Elog-Min*ones(size(Elog),1);
subplot(2,1,1);
%plot(ERR(:,1),Elogdesp);
plot(ERR(:,1),ERR(:,2));
%title('Error');
xlabel('m');
ylabel('Error')
subplot(2,1,2);
plot(ERR(:,1),ERR(:,4)/60);
%title('Tiempo (Minutos)');
xlabel('m');
ylabel('Tiempo(Minutos)')

```

```

%Resultado método Crank Nicolson con frontera tipo Dirichelt implícito
%N=m
%ERR = m          error        valor exacto        t(seg)
ERR =[10    0.002466302821425    4.652596302821425    0.0937500000000000
      20    0.000620992257281    4.650750992257281    0.4843750000000000
      30    0.000276364329434    4.650406364329434    6.718750000000000
      40    0.000155527520534    4.650285527520534    47.796875000000000
      50    0.000099559135272    4.650229559135272    464.0937500000000
      60    0.000069146410941    4.650199146410941    1761.7968750000000
% Para m=80 "Out of memory"
subplot(2,1,1);
%plot(ERR(:,1),Elogdesp);
plot(ERR(:,1),ERR(:,2));
title('Método Crank-Nicolson');
xlabel('m');
ylabel('Error')
subplot(2,1,2);
plot(ERR(:,1),ERR(:,4)/60);

```

```
title('Método Crank-Nicolson');
xlabel('m');
ylabel('Tiempo(Minutos)')
```

Anexo 2: algoritmos para la discretización de la ecuación bidimensional del calor.

## Condiciones de frontera tipo Neuman.

### **Algoritmos comunes a los tres métodos estudiados:**

```
function Neumann
%Cálculo de las condiciones de contorno tipo Dirichlet
%clc
%clear all
c=1;L=1;
syms x y t
%Función solución exacta.
u=t.*x.^4+t.*y.^4+t.^4+x.^2+y.^2+3.*t.^5+x.*y.*t+4;

fprintf('u=');
pretty(u);
ux=diff(u,'x');
uy=diff(u,'y');
ut=diff(u,'t');
uxx=diff(ux,'x');
uyy=diff(uy,'y');
%
%Calculo la función F(x,y,t) desde la ECD la llamo GG
GG=ut-c*(uxx+uyy);
GG=vectorize(GG);
GG=inline(GG,'x','y','t')
%
%Calculo f(x,y) y la llamo ff
syms x y t
t=0;
ff=eval(vectorize(u));
ff=inline(ff)
%
%Calculo a(x,t) la llamo aa(x,t)=u(x,0,t)
syms x y t
y=0;
aa=eval(vectorize(uy));
aa=inline(aa)
%
%Calculo b(y,t) la llamo bb(y,t)=u(0,y,t)
syms x y t
x=0;
bb=eval(vectorize(ux));
bb=inline(bb)
%
%Calculo c(x,t) la llamo cc(x,t)=u(x,L,t)
syms x y t
y=L;
cc=eval(vectorize(uy));
cc=inline(cc)
%
%Calculo d(y,t) la llamo dd(y,t)=u(L,y,t)
syms x y t
x=L;
dd=eval(vectorize(ux));
```

```
dd=inline(dd)
```

```
function y=aa(x,t)
y=x.*t;
```

```
function y=bb(y,t)
y=y.*t;
```

```
function y=cc(x,t)
y=4.*t+2+x.*t;
```

```
function y=dd(y,t)
y=4.*t+2+y.*t;
```

```
function y=ff(x,y)
y=x.^2+y.^2+4;
```

```
function y=GG(x,y,t)
y=x.^4+y.^4+4.*t.^3+15.*t.^4+x.*y-12.*t.*x.^2-4-12.*t.*y.^2;
```

```
function u=exacta(x,y,t)
u=t.*x.^4+t.*y.^4+t.^4+x.^2+y.^2+3.*t.^5+x.*y.*t+4;
```

```
function A=tridiagonal(a,b,c,m)
A=zeros(m,m);%primer elemento es la fila, y el segundo la columna.
for i=2:m-1
    A(i,i-1)=b;
    A(i,i)=a;
    A(i,i+1)=c;
end
A(1,1)=a;
A(1,2)=c;
A(m,m-1)=b;
A(m,m)=a;
```

```
function AA=tridiagonalNeumann2D(a,b,c,m)
A=tridiagonal(a,b,c,m);
%modificaciones de la matriz A para condiciones de Neumann
A(1,2)=2*c;
A(m,m-1)=2*c;
B=tridiagonal(b,0,0,m);
C=tridiagonal(c,0,0,m);
AA=zeros(m*m,m*m);
for i=2:m-1
    AA(((i-1)*m)+1:i*m,((i-2)*m)+1:(i-1)*m)=B;
    AA(((i-1)*m)+1:i*m,((i-1)*m)+1:(i+0)*m)=A;
    AA(((i-1)*m)+1:i*m,((i-0)*m)+1:(i+1)*m)=C;
end
%rellenar la fila 1 y la fila m
AA(1:m,1:m)=A;
AA(((m-1)*m)+1:m*m,((m-1)*m)+1:m*m)=A;
%modificaciones de la matriz A para condiciones de Neumann
C=tridiagonal(2*c,0,0,m);
AA(1:m,m+1:2*m)=C;
AA(((m-1)*m)+1:m*m,((m-2)*m)+1:(m-1)*m)=C;
```

## **Condiciones de frontera tipo Neumann . Método Explícito:**

```
function [WN Err]=calorexplícito2D(m,N,L,c,T)
%definir k,h,la
%m=10;N=10;L=1;c=1;T=1;
k=T/N;
h=L/m;
la=c^2*k/h^2
%definir A
A=tridiagonalNeumann2D(1-4*la,la,la,m+1);
%Radio Espectral de la matriz
%max(eig(inv(A)))
%calculo de W0
W0=zeros(m+1,m+1);%lo creamos inicialmente como matriz
for i=0:m
    for ii=0:m
        W0(i+1,ii+1)=ff(0+i*h,0+ii*h);
    end
end
W=zeros((m+1)*(m+1),1);%lo convertimos en un vector de pie
for i=0:m
    W(1+(i*(m+1)):(i+1)*(m+1),1)=W0(:,(i+1));
end

%Calculo W1,W2,...,WN
for j=0:N-1
    %construcción de Cj
    b=zeros(m+1,m+1);%lo creamos inicialmente como matriz
    %Fuerza externa
    for i=0:m
        for ii=0:m
            b(i+1,ii+1)=k*GG(i*h,ii*h,j*k);
        end
    end
    %En los bordes de la placa se aplican condiciones de Neumann
    for i=0:m
        b(i+1,1)=b(i+1,1)-2*la*h*aa(i*h,j*k);
        b(1,i+1)=b(1,i+1)-2*la*h*bb(i*h,j*k);
        b(i+1,m+1)=b(i+1,m+1)+2*la*h*cc(i*h,j*k);
        b(m+1,i+1)=b(m+1,i+1)+2*la*h*dd(i*h,j*k);
    end
    C=zeros((m+1)*(m+1),1);%lo convertimos en un vector de pie
    for i=0:m
        C(1+(i*(m+1)):(i+1)*(m+1),1)=b(:,(i+1));
    end
    %Cálculo de W1,..,WN
    W=A*B+C; %con Jacobi: W=Jacobi(A,W+c,...)
end
WN=zeros(m+1,m+1);%Para dar el resultado como una matriz
for i=0:m
    WN(1:m+1,(i+1))=[W(1+(i*(m+1)):(i+1)*(m+1),1)];
end
Wexac=exacta(L/2,L/2,T);
Err=abs(Wexac-WN(1+(m/2),1+(m/2)))
```

```
%Dibujar el error en función de m en el centro de la placa con
%condiciones
%de frontera tipo Neuman considerando sólo el punto central de la
%placa T=1
clc
```

```

clear all
format long
c=1;
L=1;
T=1;
ERR=zeros(4,4);
for i=10:10:40
    m=i;
    N=4*c^2*T*m^2/L^2-1;%para que cumpla la condición de estabilidad
    la<=1/4
        t = cputime;
        [WN Err]=calorexplícito2D(m,N,L,c,T);
        e=cputime-t;
        ERR(i/10,:)=[m Err WN(1+(m/2),1+(m/2)) e]
    end

%Ri=Richardson(ERR(:,3),exacta(L/2,L/2,T))

%Dibujar el error en función de m

%Elog=log(ERR(:,2));
%Min=min(Elog);
%Elogdesp=Elog-Min*ones(size(Elog),1);
subplot(2,1,1);
%plot(ERR(:,1),Elogdesp);
plot(ERR(:,1),ERR(:,2));
title('Método Explícito N=4*c^2*T*m^2/L^2');
xlabel('m');
ylabel('Error')
subplot(2,1,2);
plot(ERR(:,1),ERR(:,4)/60);
title('Método Explícito N=4*c^2*T*m^2/L^2');
xlabel('m');
ylabel('Tiempo(Minutos)')

```

```

%Resultado método Explícito con frontera tipo Neumann
%N=4*c^2*T*m^2/L^2
ERR =[10 0.002480317444713 4.652610317444713 0.140625000000
      20 0.000620860723848 4.650750860723848 0.187500000000
      30 0.000276007140810 4.650406007140810 1.734375000000
      40 0.000155267813037 4.650285267813037 8.265625000000
      50 0.000099375510253 4.650229375510253 29.000000000000
      60 0.000069012325659 4.650199012325659 82.07812500000
      70 0.000050703622783 4.650180703622783 428.9218750000
      80 0.000038820304554 4.650168820304554 1008.312500000
      90 0.000030673019068 4.650160673019068 2154.906250000];

subplot(2,1,1);
%plot(ERR(:,1),Elogdesp);
plot(ERR(:,1),ERR(:,2));
title('Método Explícito N=4*c^2*T*m^2/L^2');
xlabel('m');
ylabel('Error')
subplot(2,1,2);
plot(ERR(:,1),ERR(:,4)/60);
title('Método Explícito N=4*c^2*T*m^2/L^2');
xlabel('m');
ylabel('Tiempo(Minutos)')

```

## **Condiciones de frontera tipo Neumann . Método Implícito:**

```
function [WN Err]=calorimplícito2D(m,N,L,c,T)
%definir k,h,la
%m=10;N=10;L=1;c=1;T=1;
k=T/N;
h=L/m;
la=c^2*k/h^2
%definir A
A=tridiagonalNeumann2D(1+4*la,-la,-la,m+1);
%Radio Espectral de la matriz
%max(eig(inv(A)))
%calculo de W0
W0=zeros(m+1,m+1);%lo creamos inicialmente como matriz
for i=0:m
    for ii=0:m
        W0(i+1,ii+1)=ff(0+i*h,0+ii*h);
    end
end
W=zeros((m+1)*(m+1),1);%lo convertimos en un vector de pie
for i=0:m
    W(1+(i*(m+1)):(i+1)*(m+1),1)=W0(:,(i+1));
end

%Calculo W1,W2,...,WN
for j=0:N-1
    %construcción de Cj
    c=zeros(m+1,m+1);%lo creamos inicialmente como matriz
    %Fuerza externa
    for i=0:m
        for ii=0:m
            c(i+1,ii+1)=k*GG(i*h,ii*h,(j+1)*k);
        end
    end
    %En los bordes de la placa se aplican condiciones de Neumann
    for i=0:m
        c(i+1,1)=c(i+1,1)-2*la*h*aa(i*h,(j+1)*k);
        c(1,i+1)=c(1,i+1)-2*la*h*bb(i*h,(j+1)*k);
        c(i+1,m+1)=c(i+1,m+1)+2*la*h*cc(i*h,(j+1)*k);
        c(m+1,i+1)=c(m+1,i+1)+2*la*h*dd(i*h,(j+1)*k);
    end
    C=zeros((m+1)*(m+1),1);%lo convertimos en un vector de pie
    for i=0:m
        C(1+(i*(m+1)):(i+1)*(m+1),1)=c(:,(i+1));
    end
    %Cálculo de W1,..,WN
    W=A\W+C;%con Jacobi: W=Jacobi(A,W+c,...)
end
WN=zeros(m+1,m+1);%Para dar el resultado como una matriz
for i=0:m
    WN(1:m+1,(i+1))=[W(1+(i*(m+1)):(i+1)*(m+1),1)];
end
Wexacta=exacta(L/2,L/2,T);
Err=abs(Wexacta-WN(1+(m/2),1+(m/2)))
```

```
%Dibujar el error en función de m en el centro de la placa con
%condiciones
%de frontera tipo Neumann - Algoritmo implícito
clc
clear all
```

```

format long
c=1;
L=1;
T=1;
ERR=zeros(4,4);
for i=10:10:40
    m=i;
    N=m;
    t = cputime;
    [WN Err]=calorimplicito2D(m,N,L,c,T);
    e=cputime-t;
    ERR(i/10,:)=[m Err WN(1+(m/2),1+(m/2)) e]
end

%Ri=Richardson(ERR(:,3),exacta(L/2,L/2,T))

%Dibujar el error en función de m

%Elog=log(ERR(:,2));
%Min=min(Elog);
%Elogdesp=Elog-Min*ones(size(Elog),1);
subplot(2,1,1);
%plot(ERR(:,1),Elogdesp);
plot(ERR(:,1),ERR(:,2));
title('Método Implícito - Neuman N=m');
xlabel('m');
ylabel('Error')
subplot(2,1,2);
plot(ERR(:,1),ERR(:,4)/60);
title('Método Implícito - Neuman N=m');
xlabel('m');
ylabel('Tiempo(Minutos)')

```

```

% Resultado método Implicito tipo Neuman N=m considerando sólo el
punto central de la placa T=1
ERR =[10    0.991247100016251    9.866247100016251    0.1093750000000000
      20    0.485559720312555    9.360559720312555    2.093750000000000
      30    0.321396741944769    9.196396741944769    27.156250000000000
      40    0.240171050317260    9.115171050317260    318.6250000000000];

subplot(2,1,1);
%plot(ERR(:,1),Elogdesp);
plot(ERR(:,1),ERR(:,2));
title('Método Implícito N=m');
xlabel('m');
ylabel('Error')
subplot(2,1,2);
plot(ERR(:,1),ERR(:,4)/60);
title('Método Implícito N=m');
xlabel('m');
ylabel('Tiempo(Minutos)')

```

### **Condiciones de frontera tipo Neuman . Método Crank Nicolson:**

```

function [WN Err]=Crank2D(m,N,L,c,T)
%definir k,h,la
%m=10;N=10;L=1;c=1;T=1;

```

```

k=T/N;
h=L/m;
la=c^2*k/h^2
%definir A
A=tridiagonalNeumann2D(1+2*la,-la/2,-la/2,m+1);
%Radio Espectral de la matriz
%max(eig(inv(A)))
B=tridiagonalNeumann2D(1-2*la,la/2,la/2,m+1);
%calculo de W0
W0=zeros(m+1,m+1);%lo creamos inicialmente como matriz
for i=0:m
    for ii=0:m
        W0(i+1,ii+1)=ff(0+i*h,0+ii*h);
    end
end
W=zeros((m+1)*(m+1),1);%lo convertimos en un vector de pie
for i=0:m
    W(1+(i*(m+1)):(i+1)*(m+1),1)=W0(:,(i+1));
end

%Calculo W1,W2,...,WN
for j=0:N-1
    %construcción de Cj
    c=zeros(m+1,m+1);%lo creamos inicialmente como matriz
    %Fuerza externa
    for i=0:m
        for ii=0:m
            c(i+1,ii+1)=k*GG(i*h,ii*h,(j+(1/2))*k);
        end
    end
    %En los bordes de la placa se aplican condiciones de Neumann
    for i=0:m
        c(i+1,1)=c(i+1,1)-la*h*(aa(i*h,(j+1)*k)+aa(i*h,j*k));
        c(1,i+1)=c(1,i+1)-la*h*(bb(i*h,(j+1)*k)+bb(i*h,j*k));
        c(i+1,m+1)=c(i+1,m+1)+la*h*(cc(i*h,(j+1)*k)+cc(i*h,j*k));
        c(m+1,i+1)=c(m+1,i+1)+la*h*(dd(i*h,(j+1)*k)+dd(i*h,j*k));
    end
    C=zeros((m+1)*(m+1),1);%lo convertimos en un vector de pie
    for i=0:m
        C(1+(i*(m+1)):(i+1)*(m+1),1)=c(:,(i+1));
    end
    %Cálculo de W1,..,WN
    W=A\B*W+C; %con Jacobi: W=Jacobi(A,W+c,...)
end
WN=zeros(m+1,m+1);%Para dar el resultado como una matriz
for i=0:m
    WN(1:m+1,(i+1))=[W(1+(i*(m+1)):(i+1)*(m+1),1)];
end
Wexac=exacta(L/2,L/2,T);
Err=abs(Wexac-WN(1+(m/2),1+(m/2)))

```

```

%Dibujar el error en función de m en el centro de la placa con
condiciones
%de frontera tipo Neumann - Algoritmo Crank-Nicolson
clc
clear all
format long
c=1;
L=1;
T=1;

```

```

ERR=zeros(4,4);
for i=10:10:40
m=i;
N=m;
t = cputime;
[WN Err]=Crack2D(m,N,L,c,T);
e=cputime-t;
ERR(i/10,:)=[m Err WN(1+(m/2),1+(m/2)) e]
end

%Ri=Richardson(ERR(:,3),exacta(L/2,L/2,T))

%Dibujar el error en función de m

%Elog=log(ERR(:,2));
%Min=min(Elog);
%Elogdesp=Elog-Min*ones(size(Elog),1);
subplot(2,1,1);
%plot(ERR(:,1),Elogdesp);
plot(ERR(:,1),ERR(:,2));
title('Método Implícito - Neuman N=m');
xlabel('m');
ylabel('Error')
subplot(2,1,2);
plot(ERR(:,1),ERR(:,4)/60);
title('Método Implícito - Neuman N=m');
xlabel('m');
ylabel('Tiempo(Minutos)')

```

```

%Resultado método Crank Nicolson con frontera tipo Neuman implícito
%N=m considerando sólo el punto central de la placa T=1
%ERR = m           error           valor exacto           t(seg)
ERR =[10    0.046659318490631    8.828340681509369    0.0937500000000000
      20    0.011684420487903    8.863315579512097    2.1093750000000000
      30    0.005194693230068    8.869805306769932    26.3750000000000000
      40    0.002922333472373    8.872077666527627    222.1718750000000];
subplot(2,1,1);
%plot(ERR(:,1),Elogdesp);
plot(ERR(:,1),ERR(:,2));
title('Método Crank-Nicolson con Frontera tipo Neumann');
xlabel('m');
ylabel('Error')
subplot(2,1,2);
plot(ERR(:,1),ERR(:,4)/60);
title('Método Crank-Nicolson con Frontera tipo Neumann');
xlabel('m');
ylabel('Tiempo(Minutos)')

```

# Comparativa de métodos

```
%Comparativa de métodos T=1

%Explícito N=4*c^2*T*m^2/L^2 (landa <=1/4) Dirichlet
%ERR = m           error           valor exacto           t(seg)
ERREX =[10    0.002728599244071    8.872271400755929    0.1406250000000
        20    0.000684935104768    8.874315064895232    1.5312500000000
        30    0.000304649141921    8.874695350858080    16.6250000000000
        40    0.000171411303432    8.874828588696568    83.1562500000000];

%Implícito N=m Dirichlet
%ERR = m           error           valor exacto           t(seg)
ERRIM =[10    0.210527916576604    9.085527916576604    0.0781250000000
        20    0.109648267558974    8.984648267558974    0.9531250000000
        30    0.074041942769215    8.949041942769215    12.2187500000000
        40    0.055880048754092    8.930880048754093    178.21870000000];

%Implícito N=m^2 Dirichlet
%ERR = m           error           valor exacto           t(seg)
ERRIM2 =[10    0.002466302821425    8.900299036673710    0.1406250000000
        20    0.000620992257281    8.881401240611737    9.4687500000000
        30    0.000276364329434    8.877851370741265    418.3437500000
        40    0.000155527520534    8.876605154490269    4387.6250000000];

%Crank-Nicolson Dirichlet
%ERR = m           error           valor exacto           t(seg)
ERRCR=[10    0.002662809420785    8.872337190579215    0.1093750000000
        20    0.000671809989671    8.874328190010330    1.0312500000000
        30    0.000299169436829    8.874700830563171    12.3437500000000
        40    0.000168396595161    8.874831603404839    178.2187500000000];

%Error Explícito-Neuman
%ERR = m           error           valor exacto           t(seg)
ERREXN =[10    0.040424610310490    8.834575389689510    0.2656250000000
        20    0.010122894309092    8.864877105690908    3.4375000000000
        30    0.004500441472013    8.870499558527987    31.4375000000000
        40    0.002531769466778    8.872468230533222    145.20312500000];

%Error Explícito-Neuman N=m
%ERR = m           error           valor exacto           t(seg)
ERRIMN =[10    0.991247100016251    9.866247100016251    0.1093750000000
        20    0.485559720312555    9.360559720312555    2.0937500000000
        30    0.321396741944769    9.196396741944769    27.1562500000000
        40    0.240171050317260    9.115171050317260    318.62500000000];

%Error Crank Nicolson-Neuman N=m
%ERR = m           error           valor exacto           t(seg)
ERRCRN =[10    0.046659318490631    8.828340681509369    0.0937500000000
        20    0.011684420487903    8.863315579512097    2.1093750000000
        30    0.005194693230068    8.869805306769932    26.3750000000000
        40    0.002922333472373    8.872077666527627    222.17187500000];

figure(1);
subplot(2,1,1);
h=plot(ERREX(:,1),ERREX(:,2),ERRIM(:,1),ERRIM(:,2));
set(h,{'Color'},{'r','b'});
```

```

title('Comparativa de Métodos Explícito-Implícito');
xlabel('m');
ylabel('Error');
legend(h,'Explícito N=4*c^2*T*m^2/L^2 (landa <=1/4)', 'Implícito N=m')
subplot(2,1,2);
hh=plot(ERREX(:,1),ERREX(:,4)/60,ERRIM(:,1),ERRIM(:,4)/60);
set(hh,{'Color'},{'r';'b'});
title('Comparativa de Métodos Explícito-Implícito');
xlabel('m');
ylabel('Tiempo(Minutos)');
legend(hh,'Explícito N=4*c^2*T*m^2/L^2 (landa <=1/4)', 'Implícito N=m')

figure(2);
subplot(2,1,1);
h=plot(ERREX(:,1),ERREX(:,2),ERRIM2(:,1),ERRIM2(:,2));
set(h,{'Color'},{'r';'b'});
title('Comparativa de Métodos Explícito-Implícito');
xlabel('m');
ylabel('Error');
legend(h,'Explícito N=4*c^2*T*m^2/L^2 (landa <=1/4)', 'Implícito N=m^2')
subplot(2,1,2);
hh=plot(ERREX(:,1),ERREX(:,4)/60,ERRIM2(:,1),ERRIM2(:,4)/60);
set(hh,{'Color'},{'r';'b'});
title('Comparativa de Métodos Explícito-Implícito');
xlabel('m');
ylabel('Tiempo(Minutos)');
legend(hh,'Explícito N=4*c^2*T*m^2/L^2 (landa <=1/4)', 'Implícito N=m^2')

figure(3);
subplot(2,1,1);
h=plot(ERRIM(:,1),ERRIM(:,2),ERRCR(:,1),ERRCR(:,2));
set(h,{'Color'},{'r';'b'});
title('Comparativa de Métodos Implícito N=m-Crank-Nicolson');
xlabel('m');
ylabel('Error');
legend(h,'Implícito N=m', 'Crank-Nicolson')
subplot(2,1,2);
hh=plot(ERRIM(:,1),ERRIM(:,4)/60,ERRCR(:,1),ERRCR(:,4)/60);
set(hh,{'Color'},{'r';'b'});
title('Comparativa de Métodos Implícito N=m-Crank-Nicolson');
xlabel('m');
ylabel('Tiempo(Minutos)');
legend(hh,'Implícito N=m', 'Crank-Nicolson')

figure(4);
subplot(2,1,1);
h=plot(ERREX(:,1),ERREX(:,2),ERREXN(:,1),ERREXN(:,2));
set(h,{'Color'},{'r';'b'});
title('Comparativa de Métodos Dirichlet-Neuman');
xlabel('m');
ylabel('Error');
legend(h,'Explícito Dirichlet', 'Explícito Neuman')
subplot(2,1,2);
hh=plot(ERREX(:,1),ERREX(:,4)/60,ERREXN(:,1),ERREXN(:,4)/60);
set(hh,{'Color'},{'r';'b'});
title('Comparativa de Métodos Dirichlet-Neuman');
xlabel('m');
ylabel('Tiempo(Minutos)');

```

```

legend(hh,'Explícito Dirichlet','Explícito Neuman')

figure(5);
subplot(2,1,1);
h=plot(ERRIM(:,1),ERRIM(:,2),ERRIMN(:,1),ERRIMN(:,2));
set(h,{'Color'},{'r';'b'});
title('Comparativa de Métodos Dirichlet-Neuman');
xlabel('m');
ylabel('Error');
legend(h,'Implícito Dirichlet','Implícito Neuman')
subplot(2,1,2);
hh=plot(ERRIM(:,1),ERRIM(:,4)/60,ERRIMN(:,1),ERRIMN(:,4)/60);
set(hh,{'Color'},{'r';'b'});
title('Comparativa de Métodos Dirichlet-Neuman');
xlabel('m');
ylabel('Tiempo(Minutos)');
legend(hh,'Implícito Dirichlet','Implícito Neuman')

figure(6);
subplot(2,1,1);
h=plot(ERRCR(:,1),ERRCR(:,2),ERRCRN(:,1),ERRCRN(:,2));
set(h,{'Color'},{'r';'b'});
title('Comparativa de Métodos Dirichlet-Neuman');
xlabel('m');
ylabel('Error');
legend(h,'Crank-Nicolson Dirichlet','Crank-Nicolson Neuman')
subplot(2,1,2);
hh=plot(ERRCR(:,1),ERRCR(:,4)/60,ERRCRN(:,1),ERRCRN(:,4)/60);
set(hh,{'Color'},{'r';'b'});
title('Comparativa de Métodos Dirichlet-Neuman');
xlabel('m');
ylabel('Tiempo(Minutos)');
legend(hh,'Crank-Nicolson Dirichlet','Crank-Nicolson Neuman')

```